

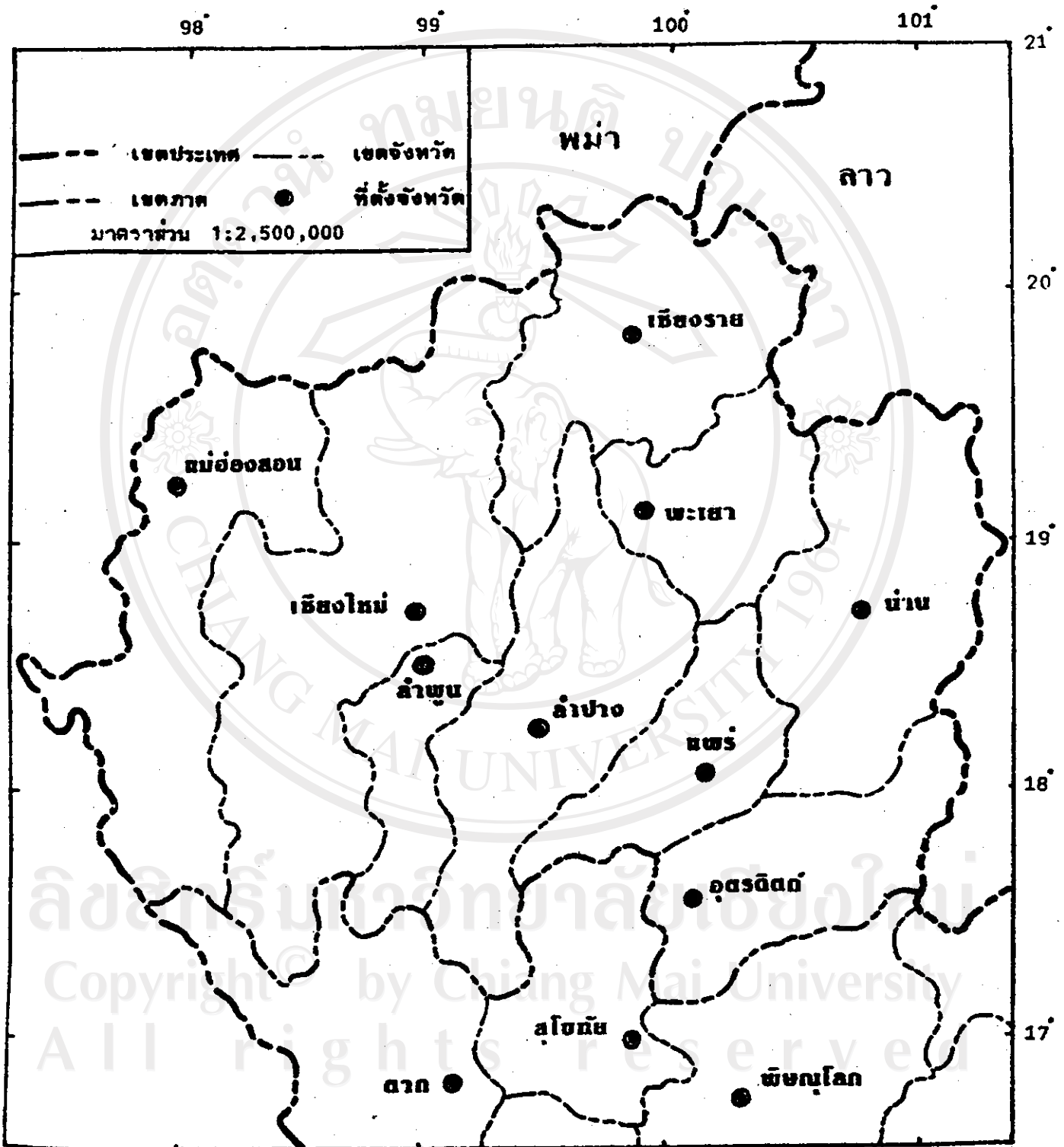
ผลการศึกษาและการวิเคราะห์ข้อมูล

3.1 ข้อมูลโดยทั่วไปของบริเวณที่ทำการศึกษา

3.1.1 สถานที่ตั้งของบริเวณที่ทำการศึกษา

ภาคเหนือตอนบนประกอบด้วย 9 จังหวัด คือ เชียงใหม่ เชียงราย แม่ฮ่องสอน พะเยา แพร่ น่าน ลำพูน ลำปาง และอุตรดิตถ์ ตั้งอยู่ระหว่างละติจูดที่ 17 องศา 10 ลิบดาเหนือถึงละติจูดที่ 20 องศา 25 ลิบดาเหนือ และระหว่างลองจิจูดที่ 97 องศา 20 ลิบดาตะวันออก ถึงลองจิจูดที่ 101 องศา 20 ลิบดาตะวันออก โดยอาณาเขตด้านเหนือ ด้านตะวันออกเฉียงเหนือและด้านตะวันตก จดสาธารณรัฐสังคมนิยมแห่งสหภาพมา ด้านตะวันออกจดสาธารณรัฐประชาธิปไตยประชาชนลาว ด้านใต้จดเขตจังหวัดตาก สุโขทัยและพิษณุโลก (ดังรูปที่ 1) จากการคำนวณของกรมแผนที่ทหาร (2521) พบว่ามีพื้นที่รวมกัน 93690.82 ตารางกิโลเมตร จากการศึกษาเพิ่มเติมพบว่าพื้นที่อยู่ในบริเวณความสูงจากระดับน้ำทะเลระหว่าง 900-2565 เมตรรวมกัน 17239.67 ตารางกิโลเมตร หรือ 18.40% ของพื้นที่ภาคเหนือตอนบนทั้งหมด โดยแบ่งเป็นพื้นที่ดินที่เกิดจากหินแกรนิตยุคไทรแอสซิกและยุคคาร์บอนิเฟอรัส ซึ่งมีพื้นที่ 4578.17 และ 1498.98 ตารางกิโลเมตร หรือ 26.56% และ 8.69% ของพื้นที่สูงทางภาคเหนือตอนบนตามลำดับ ซึ่งในแต่ละพื้นที่ลุ่มน้ำใหญ่และพื้นที่ลุ่มน้ำย่อยของแม่น้ำปิง วัง ยม น่าน โขงและสาละวิน แสดงไว้ในตารางที่ 2 - ตารางที่ 8 (นิวัติ, 2529)

บริเวณที่ทำการศึกษาจะทำการศึกษาเฉพาะในเขตจังหวัดเชียงใหม่ เชียงราย และแม่ฮ่องสอน เท่านั้นโดยกระทำ 6 บริเวณ คือ บริเวณที่ 1 ในจังหวัดเชียงใหม่เป็นหินแกรนิตยุคไทรแอสซิก บริเวณที่ 2 ในจังหวัดเชียงใหม่เป็นหินแกรนิตยุคคาร์บอนิเฟอรัส บริเวณที่ 3 ในจังหวัดเชียงใหม่เป็นหินแกรนิตยุคไทรแอสซิก บริเวณที่ 4 ในจังหวัดเชียงใหม่เป็นหินแกรนิตยุคคาร์บอนิเฟอรัส บริเวณที่ 5 ในจังหวัดแม่ฮ่องสอนเป็นหินแกรนิตยุคไทรแอสซิก และบริเวณที่ 6 ในจังหวัดเชียงใหม่เป็นหินแกรนิตยุคคาร์บอนิเฟอรัส สำหรับรายละเอียดของที่ตั้งแต่ละบริเวณ แสดงไว้ในภาคผนวกที่ I-2



รูปที่ 1 แผนที่แสดงขอบเขตจังหวัดในภาคเหนือตอนบนของประเทศไทย
 (กรมแผนที่ทหาร, 2515)

ชนิดหิน	ลุ่มน้ำปิง	ลุ่มน้ำวัง	ลุ่มน้ำยม	ลุ่มน้ำน่าน	ลุ่มน้ำโขง	ลุ่มน้ำสาละวิน	พื้นที่ (กม ²)
G.t	2407.38	196.05	3.06	0.76	963.65	1007.27	4578.17
G.h	992.35	0.00	0.00	0.00	191.58	315.05	1498.98
พื้นที่ (กม ²)	3399.73	196.05	3.06	0.76	1155.23	1322.32	6077.15

ตารางที่ 2 พื้นที่หินแกรนิตยุคไทรแอสซิก (G.t) กับหินแกรนิตยุคคาร์บอนิเฟอรัส (G.h) ที่มีระดับความสูงจากระดับน้ำทะเลระหว่าง 900-2565 เมตร ในแต่ละพื้นที่ลุ่มน้ำใหญ่ทางภาคเหนือตอนบนของประเทศไทย

ชนิดหิน	ลุ่มน้ำปิง									พื้นที่ (กม ²)
	แม่น้ำปิง	น้ำแม่สี	น้ำแม่พา	น้ำแม่จืด	น้ำแม่ปิง	น้ำแม่จวน	น้ำแม่สาย	น้ำแม่แจ่ม	น้ำแม่คัน	
G.t	265.94	13.90	22.45	223.72	92.09	359.82	178.70	723.85	526.91	2407.38
G.h	347.45	0.00	0.00	0.00	0.00	149.36	145.41	74.62	275.51	992.35
พื้นที่ (กม ²)	613.39	13.90	22.45	223.72	92.09	509.18	324.11	798.47	802.42	3399.73

ตารางที่ 3 พื้นที่หินแกรนิตยุคไทรแอสซิก (G.t) กับหินแกรนิตยุคคาร์บอนิเฟอรัส (G.h) ที่มีระดับความสูงจากระดับน้ำทะเลระหว่าง 900-2565 เมตร ในเขตลุ่มน้ำปิง

ชนิดหิน	ลุ่มน้ำวัง			พื้นที่ (กม ²)
	แม่น้ำวัง	น้ำแม่ต๋อย	น้ำแม่จาง	
G.t	192.22	3.88	0.00	196.05
G.h	0.00	0.00	0.00	0.00
พื้นที่ (กม ²)	192.22	3.83	0.00	196.05

ตารางที่ 4 พื้นที่หินแกรนิตยุคโทรแอสซิก (G.t) กับหินแกรนิตยุคคาร์บอนิเฟอรัส (G.h) ที่มีความสูงจากระดับน้ำทะเลระหว่าง 900-2565 เมตร ในเขตลุ่มน้ำวัง

ชนิดหิน	ลุ่มน้ำยม			พื้นที่ (กม ²)
	แม่น้ำยม	น้ำแม่คำ	น้ำแม่จาว	
G.t	3.06	0.00	0.00	3.06
G.h	0.00	0.00	0.00	0.00
พื้นที่ (กม ²)	3.06	0.00	0.00	3.06

ตารางที่ 5 พื้นที่หินแกรนิตยุคโทรแอสซิก (G.t) กับหินแกรนิตยุคคาร์บอนิเฟอรัส (G.h) ที่มีความสูงจากระดับน้ำทะเลระหว่าง 900-2565 เมตรในเขตลุ่มน้ำยม

ชนิดหิน	ลุ่มน้ำน่าน			พื้นที่ (กม ²)
	แม่น้ำน่าน (1)	น้ำปาด	น้ำจ้ว	
G.t	0.76	0.00	0.00	0.76
G.h	0.00	0.00	0.00	0.00
พื้นที่ (กม ²)	0.76	0.00	0.00	0.76

ตารางที่ 6 พื้นที่หินแกรนิตยุคไทรแอสซิก (G.t) กับหินแกรนิตยุคคาร์บอนิเฟอรัส (G.h) ที่มีความสูงจากระดับน้ำทะเลระหว่าง 900-2565 เมตรในเขตลุ่มน้ำน่าน

ชนิดหิน	ลุ่มน้ำโขง					พื้นที่ (กม ²)
	แม่น้ำกก	น้ำแม่คำ	น้ำแม่อิง	น้ำแม่ปาง	น้ำแม่ลาว	
G.t	86.35	266.33	4.85	93.62	512.50	963.65
G.h	7.27	0.00	0.00	172.83	11.48	191.58
พื้นที่ (กม ²)	93.62	266.33	4.85	266.45	523.98	1155.23

ตารางที่ 7 พื้นที่หินแกรนิตยุคไทรแอสซิก (G.t) กับหินแกรนิตยุคคาร์บอนิเฟอรัส (G.h) ที่มีความสูงจากระดับน้ำทะเลระหว่าง 900-2565 เมตรในเขตลุ่มน้ำโขง

ชนิดหิน	ลุ่มน้ำสาละวิน					พื้นที่ (กม ²)
	แม่น้ำสาละวิน (1)	แม่น้ำสาละวิน (2)	น้ำแม่ยวม	น้ำแม่สุริน	น้ำแม่ปาย	
G.t	0.00	0.00	502.17	27.42	477.68	1007.27
G.h	0.00	0.00	17.86	0.00	297.19	315.05
พื้นที่ (กม ²)	0.00	0.00	520.03	27.42	774.87	1322.32

ตารางที่ 8 พื้นที่หินแกรนิตยุคไทรแอสซิก (G.t) กับหินแกรนิตยุคคาร์บอนิเฟอรัส (G.h) ที่มีความสูงจากระดับน้ำทะเลระหว่าง 900-2565 เมตรในเขตลุ่มน้ำสาละวิน

3.1.2 ลักษณะภูมิประเทศ

ลักษณะภูมิประเทศของภาคเหนือตอนบนส่วนใหญ่ประกอบด้วยทิวเขา สลับกันกับหุบเขา และที่ก้นหุบเขามักมีที่ราบขนาดเล็กบ้างใหญ่บ้าง ทิวเขาที่สำคัญ ได้แก่ ทิวเขาแดนลาวทางเหนือสุดของภาค ทิวเขาถนนธงชัยทางตะวันตกของภาค ทิวเขาศีปั้งน้ำทางตอนกลางของภาค และทิวเขาลวงพระบางทางตะวันออกสุดของภาค แม่น้ำที่สำคัญได้แก่ แม่น้ำปิง วัง ยมและน่านไหลลงสู่แม่น้ำเจ้าพระยาทางด้านใต้ แม่น้ำปาย ยวมและเมยไหลลงสู่แม่น้ำสาละวินทางด้านตะวันตก ส่วนน้ำแม่ผาง กกก ลาว และอิงไหลลงสู่แม่น้ำโขงทางด้านเหนือ หุบเขาที่สำคัญได้แก่ หุบเขาลุ่มน้ำปิง วัง ยม น่าน สาละวินและเมยเป็นต้น สำหรับที่ราบกับหุบเขาที่สำคัญได้แก่ ที่ราบลุ่มแม่น้ำปิง-กวงหรือที่ราบเชียงใหม่-ลำพูน เป็นต้น

สำหรับลักษณะภูมิประเทศที่หากการศึกษาทั้ง 6 บริเวณ พบว่าอยู่ในบริเวณพื้นที่ภูเขาที่มีความลาดสูง ซึ่งจัดอยู่ในหน่วยแผนที่ดินลาดชันเชิงชันทั้งหมด มีความสูงจากระดับน้ำทะเลระหว่าง 900-1580 เมตร ความลาดมากกว่า 30% ขึ้นไป ทิศทางความลาดแตกต่างกันไป และมีบริเวณจุดที่เกือบอยู่ที่ลาดนูน (convex) ทั้งหมด

3.1.3 ลักษณะภูมิอากาศ

ภูมิอากาศของภาคเหนือตอนบนจัดอยู่ในประเภทสะวันนาหรือมรสุม แบ่งได้เป็น 3 ฤดูคือฤดูฝนเริ่มตั้งแต่กลางเดือนพฤษภาคมถึงกลางเดือนตุลาคม โดย

ได้รับอิทธิพลจากลมมรสุมตะวันตกเฉียงใต้ ฤดูหนาวเริ่มตั้งแต่กลางเดือนตุลาคมถึงเดือนกุมภาพันธ์โดยได้รับอิทธิพลจากลมมรสุมตะวันออกเฉียงเหนือ ส่วนฤดูร้อนเริ่มตั้งแต่เดือนมีนาคมถึงกลางเดือนพฤษภาคม

กรมอุทุนิยมวิทยาได้ทำการบันทึกข้อมูลสถิติภูมิอากาศไทยในคาบ 30 ปี (พ.ศ.2494-2523) ในบริเวณภาคเหนือตอนบนซึ่งมีสถานีตรวจอากาศ 8 สถานี (ความสูงจากระดับน้ำทะเลของสถานีเป็นเมตร) คือ สถานีเชียงราย (394 เมตร) แม่ฮ่องสอน (267 เมตร) เชียงใหม่ (312 เมตร) แม่สะเรียง (212 เมตร) ลำปาง (241 เมตร) น่าน (200 เมตร) แพร่ (161 เมตร) และ อุตรดิตถ์ (63 เมตร) ซึ่งพอสรุปได้ดังนี้

1) ปริมาณน้ำฝน จังหวัดที่ได้รับปริมาณน้ำฝนมากที่สุด คือ จังหวัดเชียงราย ได้รับปริมาณน้ำฝน 1801.4 มิลลิเมตรต่อปี เดือนที่มีฝนตกมากที่สุดคือเดือนสิงหาคมได้รับปริมาณน้ำฝน 425.2 มิลลิเมตร เฉลี่ยฝนตก 24.0 วันต่อเดือน ส่วนจังหวัดที่มีฝนตกน้อยที่สุด คือ จังหวัดลำปาง ได้รับปริมาณน้ำฝน 1079.1 มิลลิเมตรต่อปี

2) อุณหภูมิ อุณหภูมิเฉลี่ยตลอดปีสูงสุดที่จังหวัดอุตรดิตถ์วัดได้ 27.6 องศาเซลเซียส โดยมีอุณหภูมิสูงสุดที่เคยวัดได้ 44.5 องศาเซลเซียสในเดือนเมษายน ส่วนอุณหภูมิจเฉลี่ยตลอดปีต่ำสุดที่จังหวัดเชียงรายวัดได้ 24.5 องศาเซลเซียส โดยมีอุณหภูมิต่ำสุดที่เคยวัดได้ 1.5 องศาเซลเซียสในเดือนมกราคม

3) ความชื้นสัมพัทธ์ ค่าความชื้นสัมพัทธ์ ทั้ง 8 สถานีเฉลี่ยตลอดปีระหว่าง 74.0-78.0% โดยมีค่าความชื้นสัมพัทธ์เฉลี่ยรายเดือนในฤดูฝนระหว่าง 70.0-86.0% ในฤดูหนาวระหว่าง 64.0-81.0% ส่วนในฤดูร้อนระหว่าง 53.0-66.0% จังหวัดที่มีความชื้นสัมพัทธ์เฉลี่ยตลอดปีสูงสุดคือ จังหวัดเชียงรายและน่าน วัดได้ 78.0% ส่วนจังหวัดที่มีค่าความชื้นสัมพัทธ์เฉลี่ยตลอดปีต่ำสุด คือจังหวัดแม่ฮ่องสอน เชียงใหม่ ลำปาง แพร่ และอำเภอแม่สะเรียงวัดได้ 74.0%

4) การระเหยของน้ำ การระเหยของน้ำซึ่งบันทึกไว้ในระหว่างปี พ.ศ.2504-2523 เฉพาะสถานีตรวจอากาศเชียงราย เชียงใหม่ ลำปางและน่าน เท่านั้น พบว่าค่าการระเหยของน้ำทั้ง 4 สถานีระหว่าง 1212.6-1595.5 มิลลิเมตรต่อปี โดยมีค่าการระเหยของน้ำเฉลี่ยรายเดือนในฤดูฝนระหว่าง 87.7-167.8 มิลลิเมตร ในฤดูหนาวระหว่าง 75.4-131.8 มิลลิเมตร ส่วนในฤดูร้อนระหว่าง 111.6-197.8 มิลลิเมตร จังหวัดที่มีค่าการระเหยของน้ำมากที่สุดคือจังหวัดเชียงใหม่ ค่าการระเหยของน้ำ 1595.5 มิลลิเมตรต่อปี ส่วนจังหวัดที่มีค่าการระเหยของน้ำน้อยที่สุด คือ จังหวัดน่าน ค่าการระเหยของน้ำ 1212.6 มิลลิเมตรต่อปี

5) แสงแดด ระยะเวลายาวนานของแสงแดดซึ่งบันทึกไว้ในระหว่างปี พ.ศ.2505-2523 เฉพาะสถานีตรวจอากาศเชียงรายและเชียงใหม่เท่านั้นพบว่ามี

ระยะยาวนานของแสงแดดต่อปี 2544.3 กับ 2717.6 ชั่วโมงตามลำดับ โดยมีระยะความยาวนานของแสงแดดสูงที่สุดในเดือนกุมภาพันธ์คือ 289.6 กับ 269.5 ชั่วโมงตามลำดับ ส่วนระยะความยาวนานของแสงแดดต่ำที่สุดในเดือนสิงหาคมคือ 146.8 กับ 139.2 ชั่วโมงตามลำดับ

สำหรับบริเวณที่ทำการศึกษากั้น 6 บริเวณ มีปริมาณน้ำฝนและอุณหภูมิแตกต่างกันโดยแบ่งเป็น 3 โซน คือ บริเวณที่ 1 และบริเวณที่ 2 มีปริมาณน้ำฝน 1275.7 มิลลิเมตรต่อปี และอุณหภูมิเฉลี่ยตลอดปี 25.4 องศาเซลเซียส บริเวณที่ 3 และบริเวณที่ 4 มีปริมาณน้ำฝน 1801.4 มิลลิเมตรต่อปี และอุณหภูมิเฉลี่ยตลอดปี 24.5 องศาเซลเซียส ส่วนบริเวณที่ 5 และบริเวณที่ 6 มีปริมาณน้ำฝน 1245.3 มิลลิเมตรต่อปี และอุณหภูมิเฉลี่ยตลอดปี 26.2 องศาเซลเซียส

3.1.4 ธรณีวิทยาและวัตถุต้นกำเนิดดิน

การจัดลำดับชั้นหิน (stratigraphy) ในประเทศไทย มีการทำโดยแบ่งหินทั้งหมดออกเป็นชุดต่างๆ ตามระบบการจัดลำดับชั้นหินตามอายุ (chronostratigraphic system) และเรียกชื่อหินแต่ละชุดตามระบบการจัดลำดับชั้นหินตามลักษณะหิน (lithostratigraphic system) หินที่พบเกิดอยู่ในประเทศไทย มีครบทุกยุคตั้งแต่พรีแคมเบรียน (Pre-Cambrian) ซึ่งมีอายุมากที่สุด จนถึงควอเทอร์นารี (Quaternary) ซึ่งมีอายุน้อยที่สุด หินที่พบเหล่านี้มีทั้งหินอัคนี หินตะกอน และหินแปร การบรรยายลักษณะของหินแต่ละประเภทในแต่ละยุคจะเป็นไปตามการจัดลำดับชั้นหิน กล่าวคือเริ่มตั้งแต่หินที่มีอายุมากที่สุดก่อน โดยกล่าวถึงการแพร่กระจายและหลักฐานที่บ่งบอกอายุของหินเหล่านั้น รวมทั้งประวัติและปรากฏการณ์ที่เกี่ยวข้อง กับการเกิดหินดังกล่าว ในที่นี้ขอกล่าวเน้นเฉพาะบริเวณพื้นที่ภาคเหนือตอนบนเป็นหลัก (กิตติศัพท์ และคณะ, 2528)

1) หินมหายุคพรีแคมเบรียน (Precambrian Era rocks) หินมหายุคพรีแคมเบรียนมีอายุมากกว่า 570 ล้านปีมาแล้ว นักธรณีวิทยาของไทยเรียกชื่อหินชุดนี้ต่างๆ กัน เช่น หินไนส์พรีแคมเบรียน (Precambrian Gneiss Series) หรือหินรากฐานชั้นซ้อน (Basement Complex) โดยทั่วไปหินชุดนี้ประกอบด้วยหินแปรที่ถูกแปรเปลี่ยนอย่างรุนแรงถึงปานกลาง (high to medium grade metamorphic rocks) ได้แก่ ออร์โทไนส์ (orthogneisses) พาราไนส์ (paragneisses) ชิสต์ (schists) หินแคลซ์ซิลิเกต (calc-silicate rocks) และหินอ่อน (marble) การแพร่กระจาย (distribution) ในบริเวณภูเขาสูงภาคเหนือ ได้แก่ บริเวณเขียงแสนหรือศิขรเขียงแสน (Chiang Saen Massif) พบเป็นแนวตั้งแต่เขตอำเภอเขียงแสน จังหวัดเขียงราย ค่อยไปถึงประเทศลาว ส่วนใหญ่เป็นออร์โทไนส์ บริเวณเวียงป่าเป้า (Wiang Pa Pao Schists) พบในบริเวณอำเภอเวียงป่าเป้า จังหวัดเขียงราย เป็นต้น

ไบโอไทต์ - ซิลลิมาไนต์ ชิสต์ (biotite - sillimanite schists) และไบโอไทต์ชิสต์พบ บริเวณเชียงใหม่-ตาก (Chiang Mai-Tak Geniess Belt) โดยเกิดเป็นแนวตั้งแต่บริเวณเทือกเขาน้ำตกแม่สา คอยสุเทพ บริเวณอำเภอฮอด จังหวัดเชียงใหม่ ลงไปทางใต้จนถึงบริเวณเขื่อนภูมิพล และบริเวณอุทยานแห่งชาติ ลานสาง จังหวัดตาก ประกอบด้วยออร์โทไนส์ พาราไนส์ ไบโอไทต์-ซิลลิมาไนต์ชิสต์ ไมกาชิสต์ (mica schists) หินแคลล์ซิลิเกต บริเวณเทือกเขาตะวันตกและหินอ่อน บริเวณบ้านไร่ (Ban Rai Complex) พบในบริเวณอำเภอบ้านไร่ จังหวัดอุทัยธานี ส่วนใหญ่เป็นหินไนส์ ชิสต์ หินแคลล์ซิลิเกต และหินอ่อน

2) หินมหายุคพาลีโอโซอิก (Paleozoic Era rocks)

2.1) หินมหายุคพาลีโอโซอิกตอนล่าง (Lower Paleozoic Era rocks)

หินมหายุคพาลีโอโซอิกตอนล่าง ตั้งแต่ 570 ถึง 345 ล้านปีมาแล้ว รวมระยะเวลาทั้งสิ้น 225 ล้านปี ประกอบด้วยหินตะกอน หินแปร และหินภูเขาไฟ ประกอบด้วยยุคต่างๆ ดังนี้

2.1.1) หินยุคแคมเบรียน (Cambrian Period rocks)

หินยุคแคมเบรียน ตั้งแต่ 570 ถึง 500 ล้านปีมาแล้ว ในบริเวณภูเขาสูงภาคเหนือ ปรากฏให้เห็นเป็นแนวในทิศทางเหนือ-ใต้ สองแนวคือ แนวแรกเริ่มจากจังหวัดแม่ฮ่องสอน ผ่านอำเภอแม่ลาน้อย จนถึงอำเภอแม่สะเรียง แนวที่สองเริ่มจากอำเภอฝาง ผ่านด้านตะวันตกของจังหวัดเชียงใหม่ อำเภอฮอด อำเภอลี้ อำเภอแม่พริก บริเวณเขื่อนภูมิพล อำเภอสามเงา จังหวัดตาก บ้านลานสาง อำเภอเมืองตาก จนถึงถนนตาก-แม่สอด โดยทั่วไปชั้นหินเหล่านี้ประกอบด้วยหินควอร์ตไซต์ (quartzite) ควอร์ตชิสต์ (quartz schist) หินอ่อนและฟิลไลต์ (phyllite)

2.1.2) หินยุคออร์โดวิเซียน (Ordovician Period rocks)

หินยุคออร์โดวิเซียน ตั้งแต่ 500 ถึง 435 ล้านปีมาแล้ว ในบริเวณภูเขาสูงภาคเหนือ ปรากฏให้เห็นเฉพาะด้านตะวันตก และจะเด่นชัดตามถนนสายเชียงใหม่-แม่สะเรียง บริเวณเทือกเขาคอยสุเทพ จังหวัดเชียงใหม่ อำเภอลี้ จังหวัดลำพูน ถนนสายเชียงใหม่-ฝาง ถนนสายตาก-แม่สอด บริเวณด้านตะวันตกของอำเภอเถินและอำเภอสบปราบ จังหวัดลำปาง และบริเวณเขื่อนภูมิพล จังหวัดตาก โดยทั่วไปประกอบด้วยชั้นหินปูนซึ่งเรียงตัวเป็นชั้นบางๆ วางตัวอยู่ส่วนล่าง และชั้นหนามากในคอนบน บางแห่งมีชั้นหินแปร หกควอร์ตไซต์และฟิลไลต์ วางตัวปิดทับอยู่ด้านบน

2.1.3) หินยุคไซลูเรียน-ดีโวเนียน (Silurian-Devonian Period rocks)

หินยุคไซลูเรียน-ดีโวเนียน ตั้งแต่ 435 ถึง 345

ล้านปีมาแล้ว ในบริเวณภูเขาสูงภาคเหนือปรากฏให้เห็นบริเวณจังหวัดแม่ฮ่องสอน ต้านตะวันตกและด้านเหนือของจังหวัดเชียงใหม่ และตะวันตกของจังหวัดเชียงราย โดยพบว่าประกอบด้วยหินตะกอน คือ หินดินดาน เชิร์ต หินทราย และ หินปูน บางบริเวณเป็นหินแปร พวกควอร์ตไซต์ และฟิลไลต์

2.2) หินยุคพาลีโอโซอิกตอนบน (Upper Paleozoic Era rocks)

หินมหายุคพาลีโอโซอิกตอนบน ตั้งแต่ 345 ถึง 230 ล้านปีมาแล้ว รวมระยะเวลาทั้งสิ้น 115 ล้านปี ประกอบด้วยหินตะกอน หินแปร และหินภูเขาไฟ ประกอบด้วยยุคต่างๆ ดังนี้

2.2.1) หินยุคคาร์บอนิเฟอรัส (Carboniferous Period rocks)

หินยุคคาร์บอนิเฟอรัส ตั้งแต่ 345 ถึง 280 ล้านปีมาแล้ว ในบริเวณภูเขาสูงภาคเหนือ ได้แก่บริเวณจังหวัดแม่ฮ่องสอน จังหวัดเชียงราย จังหวัดเชียงใหม่ และจังหวัดลำพูน ปรากฏให้เห็นตามแนวเทือกเขาแดนลาว และฝั้นน้ำ ประกอบด้วยหินควอร์ตไซต์ หินดินดานแข็ง (siliceous shale) สลับกับหินทรายควอร์ตซ์ (quartzitic sandstone) หินทรายเฟลด์สปาร์ (feldspathic sandstone) โดยที่ส่วนบนสุดเป็นหินภูเขาไฟพวกแอนดีไซต์ (andesite) ไรโอไลต์ (rhyolite) หัพพ์ (tuff) หินกรวดมน (conglomerate) และหินเชิร์ต แทรกอยู่

2.2.2) หินยุคเพอร์เมียน (Permian Period rocks)

หินยุคเพอร์เมียน ตั้งแต่ 280 ถึง 230 ล้านปีมาแล้ว ในบริเวณภูเขาสูงภาคเหนือ มีการแพร่กระจายอยู่ในจังหวัดแม่ฮ่องสอน เชียงใหม่ เชียงราย ลำปาง อุตรดิตถ์ สุโขทัย และตาก ปรากฏเป็นเทือกเขา ได้แก่ เทือกเขาแดนลาว ถนนธงชัย และฝั้นน้ำ ประกอบด้วยหินปูนเป็นส่วนใหญ่

3) หินมหายุคมีโซโซอิก (Mesozoic Era rocks)

หินมหายุคมีโซโซอิก ตั้งแต่ 230 ถึง 65 ล้านปีมาแล้วรวมระยะเวลาทั้งสิ้น 165 ล้านปี ประกอบด้วยหินตะกอนเป็นส่วนใหญ่ ประกอบด้วยยุคต่างๆ ดังนี้

3.1) หินยุคไทรแอสซิก (Triassic Period rocks)

หินยุคไทรแอสซิก ตั้งแต่ 230 ถึง 195 ล้านปีมาแล้วจากลักษณะการกระจายตัว ประกอบกับลักษณะเนื้อหินทำให้เชื่อว่าหินยุคไทรแอสซิกนี้ควรเกิดจากการสะสมตัวของตะกอนภายในแอ่งทะเลหรือร่องทะเล หิ้งแบบทะเลตื้นและทะเลลึก โดยบริเวณภาคเหนือของประเทศ มีลักษณะร่องทะเลแยกเป็นสองแนว คือ แนวด้านตะวันตกครอบคลุมพื้นที่บริเวณอำเภอแม่สะเรียง จังหวัดแม่ฮ่องสอน และแนวด้านตะวันออก ครอบคลุมพื้นที่จังหวัดลำปาง เชียงราย น่าน แพร่ อุตรดิตถ์ เลย และเพชรบูรณ์ โดยมีแผ่นดินบริเวณจังหวัดเชียงใหม่ขวางกั้นไว้

3.2) หินยุคจูแรสซิก-ครีเทเชียส (Jurassic-Cretaceous Period rocks)

หินยุคจูแรสซิก-ครีเทเชียส ตั้งแต่ 195 ถึง 65 ล้านปีมาแล้ว หินชุดนี้เกิดจากการแพร่กระจายตัวของตะกอนภายในแอ่งทวีปเป็นหลักในภาคเหนือพบที่บริเวณจังหวัดลำปาง บริเวณจังหวัดน่าน-แพร่-เชียงราย และบริเวณจังหวัดอุตรดิตถ์-ค่าน้ำขี้ จังหวัดเลย หินชุดนี้ประกอบด้วยหินดินดาน หินตะกอนทราย หินทรายหอย และหินกรวดมน

4) หินมหายุคซีโนโซอิก (Cenozoic Era rocks)

หินมหายุคซีโนโซอิก ตั้งแต่ 65 ล้านปีมาแล้วถึงปัจจุบัน เกิดจากการสะสมตัวของตะกอนภายในแอ่งย่อยที่แยกจากกันโดยเค็ชชาติ (isolated basin) ทำให้ลักษณะชั้นหินที่ปรากฏแตกต่างกันในแต่ละบริเวณ ประกอบด้วยยุคต่างๆ ดังนี้

4.1) หินยุคเทอร์เชียรี (Tertiary Period rocks)

หินยุคเทอร์เชียรี ตั้งแต่ 65 ถึง 1.8 ล้านปีมาแล้วในบริเวณภาคเหนือพบกระจายทั่วทั้งภาค เช่นแอ่งเชียงใหม่ แอ่งลำปาง แอ่งแม่เมาะ แอ่งเชียงราย แอ่งฝาง แอ่งลี้ เป็นต้น ประกอบด้วยหินดินดาน หินดินเหนียว หินโคลน หินตะกอนทราย หินทราย ถ่านหิน หินน้ำมัน และหินปูนน้ำจืดบางบริเวณ

4.2) หินยุคควอเทอร์นารี (Quaternary Period rocks)

หินยุคควอเทอร์นารี ตั้งแต่ 1.8 ล้านปีมาแล้วถึงปัจจุบันในบริเวณภูเขาสูงทางภาคเหนือ ใต้แบ่งเป็น 2 หน่วยหิน คือ หินสมัยไพลสโตซีน (Pleistocene Epoch rocks) ประกอบด้วยกรวดและทราย ให้ลักษณะภูมิประเทศแบบที่ราบขั้นบันได และหินสมัยปัจจุบัน (Recent Epoch rocks) ซึ่งเกิดปิดทับอยู่ตอนบน ประกอบด้วยตะกอนขนาดทรายจนถึงดินเหนียว ซึ่งทางน้ำพัดพามา

สำหรับบริเวณที่ทำการศึกษากิ่ง 6 บริเวณ มีวัตถุประสงค์กำเนิดหิน เกิดจากหินแกรนิตในยุคไทรแอสซิก 3 บริเวณ คือบริเวณที่ 1 บริเวณที่ 3 และบริเวณที่ 5 และเกิดจากหินแกรนิตในยุคคาร์บอนิเฟอรัส 3 บริเวณ คือ บริเวณที่ 2 บริเวณที่ 4 และบริเวณที่ 6 โดยมีความสูงจากระดับน้ำทะเลมากกว่า 900 เมตร ขึ้นไป ซึ่งมีรายละเอียดของการศึกษาทางด้านหินแกรนิตหัวข้อ 3.2

3.1.5 พืชพรรณตามธรรมชาติ

ป่าไม้ในภาคเหนือแบ่งออกเป็น 2 ประเภทใหญ่ๆ (สมนึก, 2515; เต็ม, 2523; นวลศิริ, 2525; Handricks, 1981) คือ

1) ป่าประเภทไม้ผลัดใบ (evergreen forest)

แบ่งออกเป็น 2 ชนิด คือ

1.1) ป่าดงดิบ (evergreen forest)

ป่าชนิดนี้เกิดขึ้นตามภูมิประเทศที่มีความชุ่มชื้นมาก ตามปกติจะมีปริมาณฝนตกชุกปีมากกว่า 1500 มิลลิเมตร พบอยู่ทั่วไปตามที่ราบ หุบเขาหรือภูเขา มีความสูงจากระดับน้ำทะเลตั้งแต่ 500 เมตรขึ้นไป แบ่งออกเป็น 3 ชนิดคือ

1.1.1) ป่าดิบชื้น (moist evergreen forest)

ความสูงจากระดับน้ำทะเลตั้งแต่ 1000 เมตรขึ้นไป ปริมาณน้ำฝนรายปีมากกว่า 1500 มิลลิเมตร ประกอบด้วยพรรณไม้หลายชนิด ไม้ชั้นบนส่วนใหญ่เป็นไม้จืดอยู่ในตระกูลยาง (Dipterocarpaceae family) มีความสูงตั้งแต่ 30-50 เมตร ไม้ชั้นรองถัดลงมาเป็นไม้ขนาดกลางถึงขนาดเล็ก ซึ่งรวมถึงไม้ตระกูลปาล์ม (Arecaceae family) ต่างๆ

1.1.2) ป่าดิบแล้ง (dry evergreen forest)

ความสูงจากระดับน้ำทะเลตั้งแต่ 500 เมตรขึ้นไป ปริมาณน้ำฝนรายปีระหว่าง 1000-2000 มิลลิเมตร พรรณไม้สำคัญในป่าดิบแล้งเป็นไม้ในตระกูลยาง (Dipterocarpaceae family) โดยเฉพาะไม้ตะเคียนทอง (*Hopea odorata* Roxb.) และไม้ตะเคียนหิน (*Hopea ferrea* Pierre.) ซึ่งมีเรือนยอดสูงกว่าไม้ชนิดอื่น

1.1.3) ป่าดิบเขา (hill evergreen forest)

ความสูงจากระดับน้ำทะเลตั้งแต่ 1000 เมตรขึ้นไป ปริมาณน้ำฝนรายปีระหว่าง 1500-2000 มิลลิเมตร พรรณไม้สำคัญในป่าดิบเขาเป็นไม้ในตระกูลก่อ (Fagaceae family) บ้างโดยมีไม้ตระกูลสน (pinaceae family) ขึ้นปะปนด้วย

1.2) ป่าสน (pine forest)

ป่าชนิดนี้มักมีการจัดกระจายเป็นหย่อมๆ โดยมีปริมาณน้ำฝนรายปี ระหว่าง 1000-1500 มิลลิเมตร พบอยู่ทั่วไปตามเนินเขา ไหล่เขาและสันเขา มีความสูงจากระดับน้ำทะเลระหว่าง 200-1200 เมตร พรรณไม้อยู่ในตระกูลสน (Pinaceae family) ที่สำคัญมี 2 ชนิดคือสนสามใบ (*Pinus khasya* Royle.) และสนสองใบ (*Pinus merkusii* Jungh.) โดยสนสองใบสามารถขึ้นในที่ๆ มีระดับต่ำกว่าสนสามใบมาก โดยขึ้นในความสูงจากระดับน้ำทะเลตั้งแต่ 200 เมตรขึ้นไป

2) ป่าประเภทผลัดใบ (deciduous forest)

แบ่งออกเป็น 3 ชนิดคือ

2.1) ป่าเบญจพรรณ (mixed deciduous forest)

ป่าชนิดนี้มีลักษณะเป็นป่าโปร่งประกอบด้วยไม้ยืนต้นขนาดกลาง พื้นที่ป่าไม้รกทึบ มีปริมาณน้ำฝนรายปีน้อยกว่า 1000 มิลลิเมตร พบในบริเวณที่ราบและเชิงเขาซึ่งมีความสูงจากระดับน้ำทะเลไม่เกิน 1000 เมตร พรรณไม้ชนิดหลักของป่าเบญจพรรณ เป็น ไม้ตระกูล Verbenaceae เช่นไม้สัก

(Tectona grandis Linn.) เป็นต้น

2.2) ป่าแพะ, ป่าแดง, ป่าโศก หรือป่าเต็งรัง
(dry dipterocarp forest)

ป่าชนิดนี้มีลักษณะเป็นป่าโปร่งประกอบด้วยไม้ยืนต้นขนาดเล็ก ถึงขนาดกลาง พื้นป่าไม้รกทึบ มีปริมาณน้ำฝนรายปีน้อยกว่า 1000 มิลลิเมตร พบในบริเวณที่ราบและบนภูเขา ซึ่งมีความสูงจากระดับน้ำทะเลไม่เกิน 1000 เมตร พรรณไม้ที่สำคัญ เช่น ไม้เต็ง (Shorea obtusa Wall.) ไม้รัง (Pentacme suavis A.DC.), ไม้พลวง (Dipterocarpus tuberculatus Roxb.), ไม้เหียง (Dipterocarpus obtusifolius Teysm.) เป็นต้น

2.3) ป่าทุ่งหญ้า (savana forest)

ป่าชนิดนี้เกิดจากการทำลายป่าดั้งเดิม โดยการเผาแล้ว ทำให้เชื้อเพลิงติดต่อกันเป็นเวลานาน เมื่อคืนจึงก็ย้ายไปที่ใหม่ ทำให้บริเวณนี้มีหญ้าคา (Imperata cylindrica Beauv.) เกิดขึ้น

ป่าไม้บริเวณที่ทำการศึกษากิ่ง 6 บริเวณมีดังนี้คือ บริเวณที่ 1 บริเวณที่ 3 และบริเวณที่ 5 เป็นป่าทุ่งหญ้าแต่บริเวณที่ 5 มีการปลูกไม้ตระกูลสน เป็นบางส่วน บริเวณที่ 2 และบริเวณที่ 6 เป็นป่าดิบเขา ส่วนบริเวณที่ 4 เป็นป่าดิบแล้ง ส่วนชนิดของพรรณไม้ดูรายละเอียดได้ในภาคผนวกที่ I-2

ลักษณะสภาพแวดล้อมโดยทั่วไปของบริเวณที่ทำการศึกษากิ่ง 6 บริเวณ ซึ่งประกอบด้วยบริเวณที่ทำการศึกษา ลักษณะภูมิประเทศ ลักษณะภูมิอากาศ วัตถุประสงค์ กำเนิดดิน พืชพรรณตามธรรมชาติ และลักษณะดินแสดงสรุปไว้ในตารางที่ 9

ส่วนการศึกษาเกี่ยวกับดินและแร่แสดงผลการศึกษาโดยละเอียดไว้ในหัวข้อที่ 3.2 และในภาคผนวกที่ I-1 ซึ่งผลจากการสลายตัวของหินและแร่กลายเป็นดินจะมีการศึกษาโดยละเอียดทั้งทางด้านกายภาพ ทางด้านเคมี ทางด้านจุลสัตววิทยา องค์ประกอบทางแร่ของอนุภาคทรายขนาดละเอียดมาก และชนิดของแร่ดินเหนียว ตลอดจนการจัดทำค่าอธิบายดิน โดยแสดงไว้ในหัวข้อ 3.3 ภาคผนวกที่ I-2 และภาคผนวกที่ II ซึ่งผลที่ได้จากหัวข้อ 3.2 และหัวข้อ 3.3 จะนำมาเป็นส่วนที่ใช้ในการประยุกต์ข้อมูลของที่ดินในการจัดชั้นคุณภาพลุ่มน้ำในหัวข้อ 3.4 โดยอาศัยวิธีการจากภาคผนวกที่ III-3 ต่อไป

บริเวณที่ทำการศึกษา	ลักษณะภูมิประเทศ	ลักษณะภูมิอากาศ	พิกัดแผนที่	พืชพรรณตามธรรมชาติ	ต้นไม้
ความสูง (เมตร)	ลักษณะพื้นที่	ทิศทางลาด	ปริมาณน้ำฝน (มม./ปี)	อุณหภูมิเฉลี่ย (ค่าเฉลี่ย)	ลักษณะการเรียงตัวของดิน (ความลึก, เซนติเมตร)
1580	77	ทิศตะวันออกเฉียงใต้	1275.7	25.4	พุ่มไม้เตี้ย
จ.เชียงใหม่	ลักษณะพื้นที่	ทิศทางลาด	ปริมาณน้ำฝน (มม./ปี)	อุณหภูมิเฉลี่ย (ค่าเฉลี่ย)	ลักษณะการเรียงตัวของดิน (ความลึก, เซนติเมตร)
1200	56	เหนือ	1801.4	24.5	พุ่มไม้เตี้ย
จ.เชียงราย	ลักษณะพื้นที่	ทิศทางลาด	ปริมาณน้ำฝน (มม./ปี)	อุณหภูมิเฉลี่ย (ค่าเฉลี่ย)	ลักษณะการเรียงตัวของดิน (ความลึก, เซนติเมตร)
920	47	ใต้	1801.4	24.5	พุ่มไม้เตี้ย
จ.เชียงใหม่	ลักษณะพื้นที่	ทิศทางลาด	ปริมาณน้ำฝน (มม./ปี)	อุณหภูมิเฉลี่ย (ค่าเฉลี่ย)	ลักษณะการเรียงตัวของดิน (ความลึก, เซนติเมตร)
1300	30	ตะวันออก	1245.3	26.2	พุ่มไม้เตี้ย
จ.เชียงใหม่	ลักษณะพื้นที่	ทิศทางลาด	ปริมาณน้ำฝน (มม./ปี)	อุณหภูมิเฉลี่ย (ค่าเฉลี่ย)	ลักษณะการเรียงตัวของดิน (ความลึก, เซนติเมตร)
900	84	เหนือ	1275.7	25.4	พุ่มไม้เตี้ย
จ.เชียงใหม่	ลักษณะพื้นที่	ทิศทางลาด	ปริมาณน้ำฝน (มม./ปี)	อุณหภูมิเฉลี่ย (ค่าเฉลี่ย)	ลักษณะการเรียงตัวของดิน (ความลึก, เซนติเมตร)
1200	56	เหนือ	1801.4	24.5	พุ่มไม้เตี้ย
จ.เชียงใหม่	ลักษณะพื้นที่	ทิศทางลาด	ปริมาณน้ำฝน (มม./ปี)	อุณหภูมิเฉลี่ย (ค่าเฉลี่ย)	ลักษณะการเรียงตัวของดิน (ความลึก, เซนติเมตร)
920	47	ใต้	1801.4	24.5	พุ่มไม้เตี้ย
จ.เชียงใหม่	ลักษณะพื้นที่	ทิศทางลาด	ปริมาณน้ำฝน (มม./ปี)	อุณหภูมิเฉลี่ย (ค่าเฉลี่ย)	ลักษณะการเรียงตัวของดิน (ความลึก, เซนติเมตร)
1300	30	ตะวันออก	1245.3	26.2	พุ่มไม้เตี้ย
จ.เชียงใหม่	ลักษณะพื้นที่	ทิศทางลาด	ปริมาณน้ำฝน (มม./ปี)	อุณหภูมิเฉลี่ย (ค่าเฉลี่ย)	ลักษณะการเรียงตัวของดิน (ความลึก, เซนติเมตร)

3.2 ผลการศึกษาและการวิเคราะห์ข้อมูลทางด้านหินแกรนิต

3.2.1 ศีลาบรรณนา (Petrography)

จากการศึกษาทางด้านศีลาบรรณนาโดยวิธีการศึกษาของ MacKanzie (1982) และ Augustithis (1973) จะได้ผลดังนี้

3.2.1.1 ศีลาบรรณนาของหินแกรนิตยุคไทรแอสซิก

(Petrography of Triassic Granites)

ตัวอย่างหินแกรนิตที่เก็บจากชั้นหินแข็ง (R-horizon)

เพื่อนำมาศึกษาประกอบด้วยตัวอย่างจำนวน 3 ตัวอย่าง เก็บจากบริเวณต่างๆ 3 บริเวณ คือ ตัวอย่างหมายเลข 1 ตัวอย่างหมายเลข 3 และตัวอย่างหมายเลข 5 โดยมีรายละเอียดของการศึกษาของแต่ละตัวอย่างแสดงในภาคผนวกที่ I-1 ลักษณะโดยทั่วไปของหินแกรนิตยุคไทรแอสซิกที่นำมาศึกษามีลักษณะคล้ายคลึงกันคือเป็นหินเนื้อดอก (porphyritic texture) โดยมีแร่ดอก (phenocrysts) ประกอบด้วย แอลคาไลเฟลด์สปาร์ (alkali feldspar) เป็นส่วนใหญ่ มีพลาจิโอเคลส (plagioclase) บ้างแต่ไม่มากนัก ส่วนเนื้อพื้น (groundmass) เป็นผลึกแร่หลายชนิดที่มีขนาดปานกลาง (medium-grained) ประกอบด้วย ควอรตซ์, แพลจิโอเคลส แอลคาไลเฟลด์สปาร์ และแร่สีเข้ม แร่สีเข้มในทุกตัวอย่าง เป็นไบโอไทต์ (biotite) ยกเว้นในตัวอย่างหมายเลข 5 มีแร่ ฮอร์นเบลนด์ (hornblende) บ้างเล็กน้อย แร่หลักต่างๆ ที่ได้กล่าวมาแล้วนี้ มีการเปลี่ยนแปลงเป็นบางส่วนทำให้ได้แร่ทุติยภูมิ (secondary minerals) หลายชนิด เช่น เซริไซต์ (sericite) แร่ดินเหนียว (clay minerals) ซอยไซต์ (zoisite) เอพิโดต (epidote) และคลอไรต์ (chlorite) เป็นต้น นอกจากนี้ในตัวอย่าง ทุกๆ ตัวอย่าง ยังมีแร่รองทั่วไป (common accessory minerals) อยู่บ้างเล็กน้อย เช่น เซอร์คอน (zircon) อะพาไทต์ (apatite) สเฟิน (sphene) และ เหล็กออกไซด์ (Fe-oxides) ผลการวิเคราะห์ทาง modal analysis ของตัวอย่างหินแกรนิตยุคไทรแอสซิก แสดงในตารางที่ 10

1) ควอรตซ์ (quartz) ควอรตซ์ที่พบมีขนาดตั้งแต่ 0.2 มม. ถึง 3.0 มม. สามารถจัดได้เป็น 2 กลุ่มคือ ควอรตซ์ที่มีขนาดค่อนข้างหยาบ และควอรตซ์ที่มีขนาดค่อนข้างละเอียดกว่า ควอรตซ์ที่มีขนาดค่อนข้างหยาบเกิดเป็นผลึกที่ไม่ปรากฏหน้าผลึก (anhedral crystals) แทรกอยู่ตามช่องว่างระหว่างแร่อื่นๆ ที่ตกผลึกก่อน อาจเกิดอยู่โดดๆ หรืออยู่รวมกันไม่กี่ผลึก ส่วนควอรตซ์ที่มีขนาดค่อนข้างละเอียดกว่าจะเกิดอยู่รวมกันเป็นกลุ่มในลักษณะ consertal

คำอธิบาย หมายเลข	คางกรวย	หมวก	มอคาโอ	โปรโม่	ซอร์บอมด์	เฮ็คคอส	อพาพัค	เพ็กลอกโคค	สัท	เซ้าสัด	นรี	คอสโก	ชอโค	นัซโค	เฮโคค	มอคาโอ	มอโค
	ไอเอส	ไอเอส	ไอเอส	ไอเอส	ไอเอส	ไอเอส	ไอเอส	ไอเอส	ไอเอส	ไอเอส	ไอเอส	ไอเอส	ไอเอส	ไอเอส	ไอเอส	ไอเอส	ไอเอส
1	31.8	28.9	21.9	17.3	0.1	/	/	/	/	/	/	/	/	/	/	/	/
3	32.2	26.2	25.5	16.2	/	/	/	/	/	/	/	/	/	/	/	/	/
5	38.7	19.8	31.5	9.9	/	/	/	/	/	/	/	/	/	/	/	/	/

หมายเลข / = พบจำนวนเลข
- = ไม่พบ

ตารางที่ 10 modal analysis ของหินแกรนิตหมู่โทรแอตติก

ลิขสิทธิ์มหาวิทยาลัยเชียงใหม่
Copyright © by Chiang Mai University
All rights reserved

texture ซึ่งอาจจะเป็นแร่ควออร์ซที่ เกิดแบบหุคิยภูมิเนื่องจากกระบวนการตกผลึกใหม่เมื่อมีแรงมากระทำ จึงเกิดมีการเปลี่ยนแปลงลักษณะ (deformation) ขึ้น ควออร์ซที่มีขนาดเล็กอาจมีลักษณะคล้ายตัวหนอน (vermicular) หรือคล้ายนิ้วมือ (finger-like) แทรกอยู่ในแพลจิโอเคลสในลักษณะของ myrmekitic texture โดยเฉพาะอย่างยิ่งตามบริเวณใกล้ๆ กับขอบผลึกของแพลจิโอเคลส นอกจากนี้ควออร์ซขนาดเล็กที่มีหน้าตัดคล้ายรูปสามเหลี่ยมอาจพบว่าแทรกตัวในแอลคาไลเฟลด์สปาร์ทำให้เกิด texture ที่เรียกว่า micrographic texture ซึ่งพบในตัวอย่างหมายเลข 1 ด้วย

2) แพลจิโอเคลส (plagioclase) แพลจิโอเคลสที่พบมีขนาดตั้งแต่ 0.2 มม. ถึง 5.0 มม. ผลึกมีลักษณะเป็น tabular crystals ที่มีลักษณะหน้าผลึกสมบูรณ์ (euhedral crystals) จนถึงหน้าผลึกกึ่งสมบูรณ์ (subhedral crystals) และมักมีการแสดง polysynthetic twin และ zoning ส่วนใหญ่เกิดเป็นแร่พื้น มีบ้างเล็กน้อยที่เป็นแร่ดอก ลักษณะเด่นของแพลจิโอเคลส เมื่อทำการศึกษาจากแผ่นหินบางโดยใช้กล้องจุลทรรศน์ คือ มีการเปลี่ยนแปลงสภาพ (alteration) เกิดขึ้นมาก กล่าวคือ จะมีการเปลี่ยนแปลงเป็นแร่หุคิยภูมิหลายชนิด ที่พบมากคือ เซริไซต์ แร่คินเนียว ซอยไซต์ และเอพิโดต การเปลี่ยนแปลงสภาพอาจไม่เกิดหมดทั้งผลึก แต่จะเกิดเป็นบริเวณโดยเฉพาะอย่างยิ่งบริเวณส่วนกลางของผลึก ซึ่งลักษณะเช่นนี้สามารถบ่งชี้ถึงค่า anorthite content บริเวณส่วนกลางผลึกว่ามีค่ามากกว่า บริเวณขอบผลึก อันเป็นลักษณะ normal zoning ในแพลจิโอเคลส ซึ่งพบชัดเจนในตัวอย่างหมายเลข 1

3) แอลคาไลเฟลด์สปาร์ (alkali feldspar) แอลคาไลเฟลด์สปาร์ที่พบมีขนาดตั้งแต่ 0.5 มม. ถึง 6.0 มม. ผลึกมีลักษณะเป็น tabular crystals ที่มีลักษณะหน้าผลึกกึ่งสมบูรณ์จนถึงผลึกที่ไม่ปรากฏหน้าผลึก ส่วนใหญ่พบเป็นทั้งแร่ดอกและแร่พื้น แอลคาไลเฟลด์สปาร์ ที่พบจากตัวอย่างมี 2 ชนิด คือ ออร์โทเคลส (orthoclase) และไมโครไคลน์ (microcline) ในตัวอย่างหมายเลข 1 เป็น ออร์โทเคลส — ตัวอย่างหมายเลข 3 เป็นไมโครไคลน์ และตัวอย่างหมายเลข 5 เป็น ออร์โทเคลส แอลคาไลเฟลด์สปาร์ ทั้ง 2 ประเภท แสดงลักษณะ perthitic และ micropertitic texture โดยมีแพลจิโอเคลสขนาดเล็กฝังตัวอยู่เป็นแนวในแอลคาไลเฟลด์สปาร์ อัตราการเปลี่ยนแปลงสภาพของแอลคาไลเฟลด์สปาร์เมื่อเปรียบเทียบกับแพลจิโอเคลสพบว่าจะมีน้อยกว่ามาก และแร่หุคิยภูมิส่วนใหญ่ที่ได้จากการเปลี่ยนแปลงสภาพจะเป็นแร่คินเนียว ลักษณะเด่นของออร์โทเคลสเมื่อศึกษาจากกล้องจุลทรรศน์ คือ จะแสดงลักษณะ simple carlsbad twin ซึ่งพบชัดเจนในตัวอย่างหมายเลข 3 ในกรณีที่ไม่มีแสดง twin อาจจำแนกจากกันโดยอาศัยค่า 2V angle โดยที่ 2V angle ของไมโครไคลน์จะมากกว่า 60° ขึ้นไป ในขณะที่ของออร์โทเคลสจะน้อยกว่า 60°

4) ไบโอไทต์ (biotite) ไบโอไทต์ที่พบมีขนาดตั้งแต่ 0.05 มม. ถึง 3.0 มม. พลิกมีลักษณะเป็น platy crystals หรือ flakes ที่พบส่วนใหญ่มีลักษณะหน้าผลึกสมบูรณ์จนถึงพลิกไม่ปรากฏหน้าผลึก ลักษณะเด่นของไบโอไทต์ เมื่อศึกษาจากกล้องจุลทรรศน์ คือจะแสดงแนวแตก (cleavage) 1 ทิศทาง มี pleochroism สีน้ำตาลแก่จนถึงน้ำตาลอ่อนและแสดงลักษณะ bird's eye structure ไบโอไทต์ที่พบจะเกิดการกระจายตัวไปในเนื้อหิน และบางส่วนมีการแปรสภาพไปเป็นคลอไรต์ เอพิโดต และเหล็กออกไซด์ โดยเฉพาะอย่างยิ่งบริเวณขอบผลึก หรือตามระนาบของแนวแตก สำหรับปริมาณไบโอไทต์ในตัวอย่างหมายเลข 5 มีน้อยกว่าในตัวอย่างหมายเลข 1 และหมายเลข 3 และในขณะเดียวกันในตัวอย่างหมายเลข 5 จะพบฮอร์นเบลนด์ด้วย ในไบโอไทต์อาจมีผลึกแร่ของเซอร์คอน หรืออะพาไทต์ ขนาดเล็กฝังตัวอยู่ในด้วย ในกรณีของเซอร์คอนจะทำให้เกิดลักษณะที่เรียกว่า pleochroic halos รอบๆ พลิกของเซอร์คอนในไบโอไทต์ ทั้งนี้เนื่องจากการสลายตัวของธาตุกัมมันตรังสีซึ่งเป็นส่วนประกอบ ส่วนน้อยในเซอร์คอนด้วย

5) ฮอร์นเบลนด์ (hornblende) ฮอร์นเบลนด์พบในตัวอย่างหมายเลข 5 เพียงตัวอย่างเดียวมีขนาดตั้งแต่ 0.1 มม. ถึง 0.6 มม. พลิกมีลักษณะเป็น prismatic crystals ที่มีลักษณะหน้าผลึกกึ่งสมบูรณ์ แสดงแนวแตก 2 ทิศทางทำมุมกันประมาณ 56° และ 124° และแสดง pleochroism สีเขียวอ่อนจนถึงสีน้ำตาลอ่อน บางส่วนของผลึกมีการแปรสภาพไปเป็น คลอไรต์และเอพิโดต ในแผ่นหินบางของหินแกรนิตที่มีฮอร์นเบลนด์มักพบสฟีนเป็นแร่รอง (accessory minerals) อยู่ด้วยเสมอ

6) เซอร์คอน (zircon) เซอร์คอนที่พบเป็นผลึกขนาดเล็ก มีรูปร่างผลึกเป็นหกเหลี่ยม (hexagonal outline) ค่อนข้างยาว ปลายแหลมหรือบางที่พบเป็นสี่เหลี่ยม และมักจะพบฝังตัวในไบโอไทต์ ซึ่งในกรณีเช่นนี้จะทำให้เกิดลักษณะของ pleochroic halos ขึ้น พลิกที่พบส่วนใหญ่เป็นผลึกที่มีหน้าผลึกสมบูรณ์ เซอร์คอนจัดเป็นแร่รองทั่วไปในหินทั้งนี้เพราะพบเป็นปริมาณน้อยมากในหิน

7) อะพาไทต์ (apatite) อะพาไทต์ที่พบเป็นผลึกขนาดเล็ก มีรูปร่างผลึกเป็นแท่งรี บางที่พบเป็นรูปหกเหลี่ยม ฝังตัวอยู่ในแร่อื่นๆ ทั้งในไบโอไทต์และเฟลด์สปาร์ พลิกที่พบส่วนใหญ่เป็นผลึกที่มีหน้าผลึกสมบูรณ์ อะพาไทต์จัดเป็นแร่รองทั่วไปในหิน ทั้งนี้เพราะพบเป็นปริมาณที่น้อยมากในหิน

8) เหล็กออกไซด์ (Fe-oxides) เหล็กออกไซด์จัดเป็นแร่ทึบแสง (opaque minerals) ที่อาจจะอยู่ในลักษณะของแร่รองทั่วไปหรือเป็นแร่ที่เกิดจากการเปลี่ยนแปลงสภาพจากแร่อื่นๆ ที่มีเหล็กอยู่ด้วย มักพบตามขอบหรือตามแนวแตกในไบโอไทต์หรือคลอไรต์ หรือบางที่อาจฝังตัวในแร่ดังกล่าว ส่วนรูปร่างจะไม่แน่นอน

9) แร่อื่นๆ แร่รองทั่วไปที่พบเฉพาะในตัวอย่างหมายเลข 5 นอกเหนือจากที่กล่าวมาจะพบหินด้วย ส่วนแร่ทุติยภูมิพวกเซริไซต์ แร่ดินเหนียว คลอไรต์พบในทุกตัวอย่าง ยกเว้นชอยไซต์พบเฉพาะในตัวอย่างหมายเลข 5 ส่วนมีสโคไวต์ เอพิโดต แอลลาไนต์ และแคลไซต์ ไม่พบในการศึกษาจากแผ่นหินบางในตัวอย่าง

3.2.1.2 ศิลาวรรณาของหินแกรนิตยุคคาร์บอนิเฟอรัส

(Petrography of Carboniferous Granites)

ตัวอย่างหินแกรนิตที่เก็บจากชั้นหินแข็ง เพื่อนำมาศึกษา ประกอบด้วยตัวอย่างจำนวน 3 ตัวอย่าง เก็บจากบริเวณต่างๆ 3 บริเวณ คือ ตัวอย่างหมายเลข 2 ตัวอย่างหมายเลข 4 และตัวอย่างหมายเลข 6 โดยมีรายละเอียดของการศึกษาของแต่ละตัวอย่างแสดงในภาคผนวกที่ I-1 ลักษณะโดยทั่วไปของหินแกรนิตยุคคาร์บอนิเฟอรัสที่นำมาศึกษามีลักษณะคล้ายคลึงกันคือเป็นหินเนื้อดอก โดยมีแร่ดอกประกอบด้วยแอลคาไล เฟลด์สปาร์เป็นส่วนใหญ่ มี แพลจิโอเคลสบ้างแต่ไม่มากนัก ส่วนแร่พื้นเป็นคลีกร์หลายชนิดที่มีขนาดปานกลาง ประกอบด้วยควออร์ซ แพลจิโอเคลส แอลคาไลเฟลด์สปาร์ และแร่สีเข้ม แร่สีเข้มในทุกตัวอย่างเป็นไบโอไทต์ ยกเว้นในตัวอย่างหมายเลข 4 มีแร่ฮอร์นเบลนด์บ้างเล็กน้อย แร่หลักต่างๆ ที่ได้กล่าวมาแล้วนี้ มีการเปลี่ยนแปลงเป็นบางส่วนทำให้ได้แร่ทุติยภูมิหลายชนิด เช่น เซริไซต์ แร่ดินเหนียว ชอยไซต์ เอพิโดต และคลอไรต์ เป็นต้น แร่ทุติยภูมิพวกคลอไรต์ พบจำนวนมากในตัวอย่างหมายเลข 2 นอกจากนี้ในตัวอย่างอื่นๆ ตัวอย่างยังมีแร่รองทั่วไปอยู่บ้างเล็กน้อย เช่น เซอร์คอน อะพาไทต์ สเฟิน และเหล็กออกไซด์ ผลการวิเคราะห์ทาง modal analysis ของตัวอย่างหินแกรนิตยุคคาร์บอนิเฟอรัส แสดงในตารางที่ 11

1) ควออร์ซ ควออร์ซที่พบมีขนาดตั้งแต่ 0.1 มม. ถึง 3.0 มม. สามารถจัดได้เป็น 2 กลุ่มคือ ควออร์ซที่มีขนาดค่อนข้างหยาบ และควออร์ซที่มีขนาดค่อนข้างละเอียดกว่า ควออร์ซที่มีขนาดค่อนข้างหยาบเกิดเป็นผลึกที่ไม่ปรากฏหน้าผลึกแทรกอยู่ตามช่องว่างระหว่างแร่อื่นๆ ที่ตกผลึกก่อน อาจเกิดอยู่โดดๆ หรืออยู่รวมกันไม่กี่ผลึก ส่วนควออร์ซที่มีขนาดค่อนข้างละเอียดกว่าจะเกิดอยู่รวมกันเป็นกลุ่มในลักษณะ consertal texture ซึ่งอาจจะเป็นแร่ควออร์ซ ที่เกิดแบบทุติยภูมิเนื่องจากกระบวนการตกผลึกใหม่เมื่อมีแรงมากระทำจึงเกิดมีการเปลี่ยนแปลงลักษณะขึ้น ควออร์ซที่มีขนาดเล็กอาจมีลักษณะคล้ายตัวหนอนหรือคล้ายนิ้วมือแทรกอยู่ในแพลจิโอเคลสในลักษณะของ myrmekitic texture โดยเฉพาะอย่างยิ่งตามบริเวณใกล้ๆ กับขอบผลึกของแพลจิโอเคลส ซึ่งพบชัดเจนในตัวอย่างหมายเลข 6 นอกจากนี้ควออร์ซที่มีขนาดเล็กที่มีหน้าตัดคล้ายรูปสามเหลี่ยมอาจพบว่าแทรกตัวในแอลคาไลเฟลด์สปาร์ ทำให้เกิดลักษณะของ micrographic texture

ตัวอย่าง หมายเลข	ควาร์ต ไวเคิล	ควาร์ต โทปัล	ควาร์ต บอตทอม	ควาร์ต โทปัล	ควาร์ต บอตทอม	ควาร์ต โทปัล	ควาร์ต บอตทอม	ควาร์ต โทปัล	ควาร์ต บอตทอม
2	30.1	23.4	30.4	0.1	0.2	/	/	15.8	/
4	34.4	24.4	30.7	9.6	0.8	/	/	0.1	/
6	33.7	9.6	50.8	4.9	0.1	/	/	0.9	/

หมายเหตุ / = พหุคูณ
- = ไม่มี

ตารางที่ 11 modal analysis ของหินแกรนิตสุพรรณภูมิพอส

ลิขสิทธิ์มหาวิทยาลัยเชียงใหม่
Copyright by Chiang Mai University
All rights reserved

2) แพลจิโอเคลส แพลจิโอเคลสที่พบมีขนาดตั้งแต่ 0.2 มม. ถึง 5.0 มม. คริสตัลมีลักษณะเป็น tabular crystals ที่มีลักษณะหน้าคริสตัลสมบูรณ์จนถึงหน้าคริสตัลกึ่งสมบูรณ์ในตัวอย่างหมายเลข 2 และหมายเลข 4 ส่วนหมายเลข 6 จะมีลักษณะหน้าคริสตัลกึ่งสมบูรณ์จนถึงคริสตัลที่ไม่ปรากฏหน้าคริสตัล คริสตัลของแพลจิโอเคลสมักมีการแสดง polysynthetic twin และ zoning ส่วนใหญ่จะเกิดเป็นแนวพื้น มีบ้างเล็กน้อยที่เป็นแนวดอก ลักษณะเด่นของแพลจิโอเคลสเมื่อทำการศึกษาโดยใช้กล้องจุลทรรศน์ คือมีการเปลี่ยนแปลงเกิดขึ้นมาก กล่าวคือ จะมีการเปลี่ยนแปลงเป็นแนวทุติยภูมิหลายชนิด ที่พบมากคือ เซริไซต์ แร่ดินเหนียว ซอยไซต์ เอพิโดต แคลไซต์ และมีสโคไวต์ การเปลี่ยนแปลงสภาพอาจไม่เกิดหมดทั่วคริสตัล แต่จะเกิดเป็นบริเวณโดยเฉพาะอย่างยิ่ง บริเวณส่วนกลางของคริสตัล ซึ่งลักษณะเช่นนี้สามารถบ่งชี้ถึงค่า anorthite content บริเวณส่วนกลางของคริสตัลว่ามีค่ามากกว่าบริเวณขอบคริสตัล อันเป็นลักษณะ normal zoning ในแพลจิโอเคลส

3) แอลคาไลเฟลด์สปาร์ แอลคาไลเฟลด์สปาร์ที่พบมีขนาดตั้งแต่ 0.5 มม. ถึง 4.0 มม. คริสตัลมีลักษณะเป็น tabular crystals ที่มีลักษณะหน้าคริสตัลกึ่งสมบูรณ์ ในตัวอย่างหมายเลข 2 มีลักษณะหน้าคริสตัลกึ่งสมบูรณ์จนถึงคริสตัลที่ไม่ปรากฏหน้าคริสตัลในตัวอย่างหมายเลข 4 ส่วนหมายเลข 6 ลักษณะหน้าคริสตัลสมบูรณ์จนถึงหน้าคริสตัลกึ่งสมบูรณ์ ส่วนใหญ่พบเป็นทั้งแนวดอกและแนวพื้น แอลคาไลเฟลด์สปาร์ที่พบจากตัวอย่างมี 2 ชนิด คือ ออร์โทเคลส และไมโครไคลน์ ในตัวอย่างหมายเลข 2 และหมายเลข 4 เป็นไมโครไคลน์ ส่วนในตัวอย่างหมายเลข 6 เป็น ออร์โทเคลส แอลคาไลเฟลด์สปาร์ทั้ง 2 ประเภท แสดงลักษณะ perthitic และ micropertitic texture โดยมีแพลจิโอเคลสขนาดเล็กฝังตัวอยู่เป็นแนวในแอลคาไลเฟลด์สปาร์ อัตราการเปลี่ยนแปลงสภาพของแอลคาไลเฟลด์สปาร์เมื่อเปรียบเทียบกับแพลจิโอเคลสพบว่าจะมีน้อยกว่ามาก และแนวทุติยภูมิส่วนใหญ่ที่ได้จากการเปลี่ยนแปลงเป็นแร่ดินเหนียว ลักษณะเด่นของออร์โทเคลส เมื่อศึกษาจากกล้องจุลทรรศน์ คือจะแสดงลักษณะ simple carlsbad twin ในขณะที่ไมโครไคลน์นี้จะแสดงลักษณะ polysynthetic grid twin ในกรณีที่ไม่แสดง twin อาจจำแนกจากกันโดยอาศัยค่า 2V angle โดยที่ 2V angle ของไมโครไคลน์จะมากกว่า 60° ขึ้นไป ในขณะที่ของออร์โทเคลสจะน้อยกว่า 60°

4) ไบโอไทต์ ไบโอไทต์ที่พบมีขนาดตั้งแต่ 0.05 มม. ถึง 2.0 มม. คริสตัลมีลักษณะเป็น platy crystals หรือ flakes ที่พบส่วนใหญ่มีลักษณะหน้าคริสตัลกึ่งสมบูรณ์จนถึงคริสตัลที่ไม่ปรากฏหน้าคริสตัล ลักษณะเด่นของไบโอไทต์เมื่อศึกษาโดยใช้กล้องจุลทรรศน์ คือจะแสดงแนวแตก 1 ทิศทาง มี pleochroism สีน้ำตาลแก่จนถึงน้ำตาลอ่อน และแสดงลักษณะ bird's eye structure ไบโอไทต์ที่พบจะเกิดกระจายกระจายภายในเนื้อหิน และบางส่วนมีการแปรสภาพเป็น

คลอไรต์ เอพิโดต เหล็กออกไซด์และซอไซต์ โดยเฉพาะอย่างยิ่งบริเวณขอบผลึกหรือตามระนาบของแนวแตก สำหรับปริมาณไบโอไทต์ในตัวอย่างหมายเลข 4 มีมากกว่าในตัวอย่างหมายเลข 6 ในขณะที่ในตัวอย่างหมายเลข 2 ไบโอไทต์ถูกแปรสภาพไปเป็นคลอไรต์เกือบหมดแล้ว ในไบโอไทต์อาจมีผลึกแร่ของเซอร์คอน หรืออะพาไทต์ขนาดเล็กฝังตัวอยู่ในตัวอย่าง ซึ่งในกรณีของเซอร์คอนจะทำให้เกิดลักษณะที่เรียกว่า pleochroic halos รอบๆ ผลึกของเซอร์คอนในไบโอไทต์ทั้งนี้เนื่องจากการสลายตัวของธาตุกัมมันตรังสีซึ่งเป็นส่วนประกอบส่วนน้อยในเซอร์คอนด้วย

5) ซอร์นเบลนด์ ซอร์นเบลนด์พบในตัวอย่างหมายเลข 4 เพียงตัวอย่างเดียวมีขนาดตั้งแต่ 0.2 มม. ถึง 1.0 มม. ผลึกมีลักษณะเป็น prismatic crystals ที่มีลักษณะหน้าผลึกสมบูรณ์จนถึงหน้าผลึกกึ่งสมบูรณ์ แสดงแนวแตก 2 ทิศทางทำมุมกันประมาณ 56° และ 124° และแสดง pleochroism สีเขียวอ่อนจนถึงสีน้ำตาลอ่อน บางส่วนของผลึกมีการแปรสภาพไปเป็นคลอไรต์และเอพิโดต ในแผ่นหินบางของหินแกรนิตที่มีมีซอร์นเบลนด์มักจะพบสลับเป็นแนวร่องอยู่ด้วยเสมอ

6) เซอร์คอน เซอร์คอนที่พบเป็นผลึกขนาดเล็ก มีรูปร่างเป็นแท่งหกเหลี่ยม ค่อนข้างยาว ปลายแหลม หรือบางที่พบเป็นแท่งสี่เหลี่ยมและมักฝังตัวอยู่ในไบโอไทต์ ซึ่งลักษณะเช่นนี้จะทำให้เกิดลักษณะของ pleochroic halos ขึ้น ผลึกที่พบส่วนใหญ่เป็นผลึกที่มีหน้าผลึกสมบูรณ์ เซอร์คอนจัดเป็นแนวร่องทั่วไปในหินทั้งนี้เพราะพบเป็นปริมาณน้อยมากในหิน

7) อะพาไทต์ อะพาไทต์ที่พบเป็นผลึกขนาดเล็ก มีรูปร่างเป็นแท่งรีคล้ายเมล็ดข้าวสาร บางที่พบเป็นรูปหกเหลี่ยม ฝังตัวอยู่ในแร่อื่นๆ ทั้งในไบโอไทต์และเฟลด์สปาร์ ผลึกที่พบส่วนใหญ่เป็นผลึกที่มีหน้าผลึกสมบูรณ์ อะพาไทต์จัดเป็นแนวร่องทั่วไปในหิน ทั้งนี้เพราะพบเป็นปริมาณน้อยมากในหิน

8) เหล็กออกไซด์ เหล็กออกไซด์จัดเป็นแร่หีบแสงที่อาจอยู่ในลักษณะของแนวร่องทั่วไป หรือเป็นแร่ที่เกิดจากการเปลี่ยนแปลงสภาพจากแร่อื่นๆ ที่มีเหล็กอยู่ด้วย มักพบตามขอบหรือตามแนวแตกในไบโอไทต์หรือคลอไรต์ หรือบางที่อาจฝังตัวอยู่ในแร่ดังกล่าว ส่วนรูปร่างจะมีลักษณะไม่แน่นอน

9) คลอไรต์ คลอไรต์พบมากในตัวอย่างหมายเลข 2 เพียงตัวอย่างเดียวมีขนาดตั้งแต่ 0.1 มม. ถึง 0.2 มม. ผลึกมีลักษณะเป็น flakes มีลักษณะผลึกที่ไม่ปรากฏหน้าผลึก ลักษณะเด่นของคลอไรต์เมื่อศึกษาโดยใช้กล้องจุลทรรศน์ คือจะแสดงแนวแตก 1 ทิศทาง มี pleochroism สีเขียวแก่จนถึงเขียวอ่อน คลอไรต์ที่พบจะเกิดระจึกกระจายภายในเนื้อหินและบางส่วนซึ่งพบตามขอบของไบโอไทต์ที่ยังไม่เปลี่ยนแปลงสภาพ

10) แร่อื่นๆ แนวร่องทั่วไปที่พบเฉพาะในตัวอย่างหมายเลข 4 นอกเหนือจากที่กล่าวมาจะพบสลับ และแอลลาไนต์ซึ่งแสดง zoning

แร่ทุติยภูมิพวกเซริไซต์และแร่อินเหนียวพบในทุกตัวอย่าง ซอยไซต์พบเฉพาะในตัวอย่างหมายเลข 2 มีสโคไรต์พบในตัวอย่างหมายเลข 2 และหมายเลข 6 เอพิโดตและแคลไซต์พบในตัวอย่างหมายเลข 2

3.2.2 ผลการจำแนกชนิดหินโดยการย่อยมี

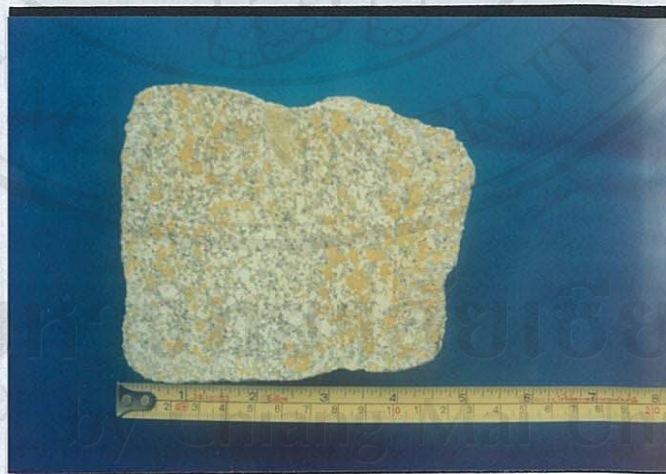
ในการจำแนกชนิดหินในกลุ่มแกรนิตอยด์ (granitoid) โดยทั่วไปวิธีการย่อยมี (ภาคผนวกที่ III-1-2) เพื่อที่จะจำแนกและหาปริมาณของแร่ควออร์ซ แอลคาไลเฟลด์สปาร์ และแพลจิโอเคลส ดังตัวอย่างในภาพที่ 1 เมื่อผ่านการย่อยมีแล้ว ควออร์ซจะมีสีเทา ใส หรือสีขาวใส แพลจิโอเคลสจะมีสีขาวขุ่นหรือขาว ส่วนแอลคาไลเฟลด์สปาร์จะมีสีเหลือง แร่แต่ละชนิดจะถูกนับออกมาเป็นเปอร์เซ็นต์ และนำไปกำหนดจุดบนตารางสามเหลี่ยมแยกชื่อหิน (Streckeisen, 1976) แสดงในรูปที่ 2 หินตัวอย่างทั้งหมดเมื่อนับจุดหาปริมาณของแร่ทั้งสามชนิดดังกล่าวจะได้ผลดังแสดงในตารางที่ 12 และเมื่อกำหนดจุดบนตารางสามเหลี่ยมแยกชื่อหินจะพบว่า ตัวอย่างหินทั้งหมดเป็นแกรนิต

ตัวอย่างหมายเลข	ควออร์ซ	แพลจิโอเคลส	แอลคาไลเฟลด์สปาร์
1	38.2	33.7	28.1
2	34.1	31.7	34.2
3	38.7	38.9	22.4
4	38.8	35.1	26.1
5	35.8	22.6	41.6
6	33.8	25.4	40.8

ตารางที่ 12 เปอร์เซ็นต์ของแร่โดยการย่อยมี

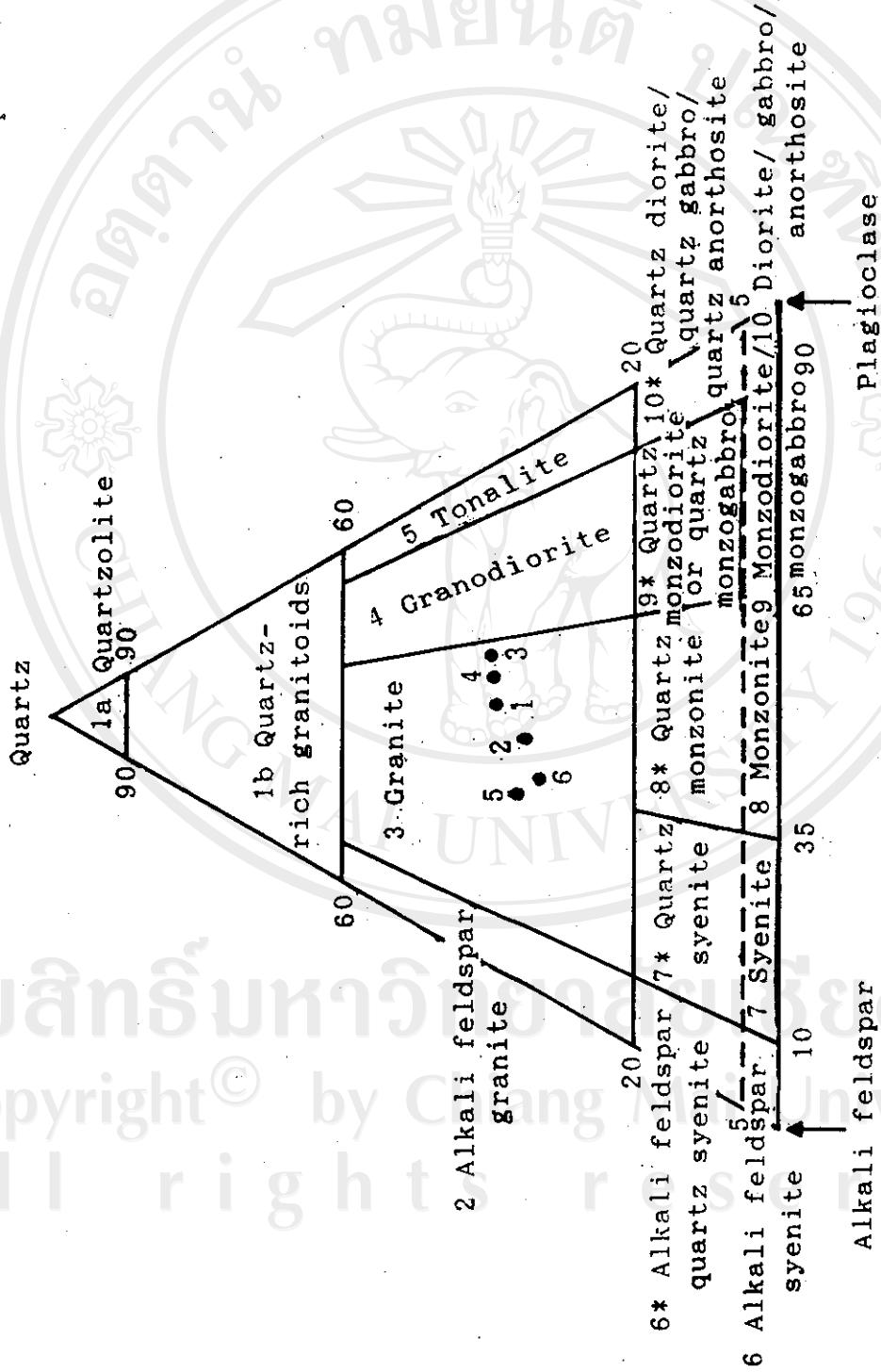


(A)



(B)

ภาพที่ 1 ตัวอย่างหินหมายเลข 3 ที่ยังไม่ผ่านการขัดสี (A) และที่ผ่านการขัดสีแล้ว (B) เพื่อจำแนกและนับปริมาณแร่ควอร์ตซ์ (สีเทาใสหรือขาวใส) แพลจิโอเคลส (สีขาวขุ่นหรือขาว) และแอลคาไลเฟลด์สปาร์ (สีเหลือง)



รูปที่ 2 ผลการจำแนกชนิดหินตัวอย่างต่างๆ ในสามเหลี่ยมซึ่งใช้จำแนกชนิดหินที่มีแร่สี่เหลี่ยมกว่า 90 เปอร์เซ็นต์ (Streckeisen, 1976)

3.3 ผลการศึกษาและการวิเคราะห์ข้อมูลทางด้านดิน

3.3.1 ลักษณะวิทยาของดิน

ลักษณะทางสัณฐานวิทยาของดินทั้ง 6 บริเวณพบว่ามีความแตกต่างกันมาก คือ เป็นดินลิก มีการระบายน้ำดี เนื้อดินบนเป็นดินร่วนเหนียวปนทรายถึงดินร่วนปนทราย ส่วนดินล่างเป็นดินร่วนปนทรายถึงดินเหนียว สีดินบนมีสีน้ำตาลเข้มปนเทา (10 YR 4/2) ถึงสีน้ำตาลเข้มปนแดง (5 YR 3/4) เมื่อขึ้น ส่วนดินล่างมีสีน้ำตาลเข้ม (7.5 YR 5/6) ถึงสีแดง (2.5 YR 4/6) เมื่อขึ้น โครงสร้างดินบนส่วนใหญ่มีโครงสร้างแบบก้อนกลม (granular structure) ที่มีระดับการสักร้าวตัวเล็กน้อย ส่วนดินล่างส่วนใหญ่มีโครงสร้างแบบก้อนเหลี่ยมมุมมน (subangular blocky structure) ที่มีระดับการสักร้าวตัวปานกลาง ความคงทนของดินเมื่อขึ้นเล็กน้อยในดินบน และปานกลางในดินล่าง ความหนาแน่นของรากที่พบมากในระดับความลึกระหว่าง 25-30 เซนติเมตรจากผิวดิน แต่ลักษณะของคราบดินเหนียว (clay cutan) ที่เกิดในชั้นดินล่างมีความชัดเจนมากในบริเวณที่ 2 บริเวณที่ 4 และบริเวณที่ 6 ซึ่งเกิดจากหินแกรนิตยุคคาร์บอนิเฟอรัส ในขณะที่ดินล่างที่เกิดจากหินแกรนิตยุคไทรแอสซิกในบริเวณที่ 3 และบริเวณที่ 5 เกิดไม่ค่อยชัดเจน และบริเวณที่ 1 ไม่เกิดขึ้นเลย ซึ่งรายละเอียดมีปรากฏในภาคผนวกที่ I-2 สำหรับหน้าตัดดินที่ทำการศึกษามีชั้นวัตถุต้นกำเนิดดินเฉพาะในบริเวณที่ 1 บริเวณที่ 2 บริเวณที่ 4 และบริเวณที่ 5 เท่านั้น ส่วนบริเวณที่ 3 และบริเวณที่ 6 ศึกษาไม่ถึงชั้นวัตถุต้นกำเนิดดินเนื่องจากมีชั้นวัตถุต้นกำเนิดดินลิกมาก

3.3.2 คุณสมบัติทางกายภาพของดิน

ผลการวิเคราะห์ดินทางด้านกายภาพทั้ง 6 บริเวณแสดงไว้ในภาคผนวกที่ II จะเห็นว่าความหนาแน่นรวม (bulk density) มีค่าค่อนข้างต่ำในดินบนและมีค่าเพิ่มสูงขึ้นในดินล่าง ค่าความหนาแน่นอนุภาค (particle density) มีค่าค่อนข้างต่ำในดินบนและมีค่าเพิ่มสูงขึ้นเล็กน้อยในดินล่างแต่เปลี่ยนแปลงไม่มากนัก ปริมาณของความพรุนทั้งหมด (total porosity) มีเปอร์เซ็นต์สูงในดินบนและมีเปอร์เซ็นต์ลดต่ำลงในดินล่าง สัดส่วนของช่องว่าง (void ratio) มีสัดส่วนที่สูงในดินบนและมีสัดส่วนลดต่ำลงในดินล่าง สำหรับปริมาณกรวด (gravel content) มีเปอร์เซ็นต์ต่ำในดินบนและมีเปอร์เซ็นต์เพิ่มสูงขึ้นในดินล่าง ซึ่งจากการวิเคราะห์คุณสมบัติทางฟิสิกส์ทั้ง 5 ประการพบว่าไม่มีความแตกต่างกันอย่างชัดเจนของดินทั้ง 6 บริเวณถึงแม้ว่าจะมีวัตถุต้นกำเนิดดินที่เกิดจากหินแกรนิตต่างอายุกัน

แต่จากการวิเคราะห์การกระจายของอนุภาคดิน (particle-size distribution) พบว่าบริเวณที่ 2 บริเวณที่ 3 บริเวณที่ 4 บริเวณที่ 5 และบริเวณที่ 6 มีเปอร์เซ็นต์อนุภาคทรายและทรายแป้งในดินล่างน้อยกว่าดินบน ในขณะที่

ที่เปอร์เซ็นต์อนุภาคดินเหนียวในดินล่างมากกว่าดินบน ซึ่งแสดงให้เห็นถึงขบวนการชะล้าง (eluviation) ของอนุภาคดินเหนียวจากดินบนแล้วเกิดขบวนการสะสม (illuviation) ในดินล่าง โดยที่เปอร์เซ็นต์การเพิ่มขึ้นของอนุภาคดินเหนียวในดินล่างเมื่อเปรียบเทียบกับดินบนพบว่าบริเวณที่ 2, บริเวณที่ 4 และบริเวณที่ 6 ซึ่งเกิดจากหินแกรนิตยุคคาร์บอนิเฟอรัสจะมีเปอร์เซ็นต์การเพิ่มขึ้นของอนุภาคดินเหนียวที่มากกว่าบริเวณที่ 3 และบริเวณที่ 5 ซึ่งเกิดจากหินแกรนิตยุคไทรแอสซิก ส่วนบริเวณที่ 1 ซึ่งเกิดจากหินแกรนิตยุคไทรแอสซิกไม่แสดงการเกิดของขบวนการชะล้างและขบวนการสะสมให้เห็นเลย

3.3.3 คุณสมบัติทางเคมีของดินและการประเมินความอุดมสมบูรณ์ของดิน

ผลการวิเคราะห์ดินทางด้านเคมีทั้ง 6 บริเวณ แสดงไว้ในตารางที่ 13 และภาคผนวกที่ II ส่วนผลการประเมินความอุดมสมบูรณ์ของดินทั้ง 6 บริเวณ แสดงไว้ในตารางที่ 14 โดยใช้วิธีการประเมินความอุดมสมบูรณ์ของดินจากคุณสมบัติทางเคมีบางประการซึ่งแสดงไว้ในตารางภาคผนวกที่ III-2-2.1

3.3.3.1 ความเป็นกรดเป็นด่างของดิน

ค่าปฏิกิริยาดินจากการวัดด้วย pH-meter ในอัตราส่วนดินต่อน้ำ 1:1 ทุกบริเวณ มีระดับความเป็นกรดเป็นด่างของดินตลอดทั้งหน้าตัดดินเป็นกรดแก่จัด (pH 4.5-5.0) ถึงกรดแก่ (pH 5.1-5.5) ยกเว้นในชั้นวัตถุต้นกำเนิดดินบริเวณที่ 1 ดินบนและชั้นวัตถุต้นกำเนิดดินบริเวณที่ 2 และตลอดทั้งหน้าตัดดินบริเวณที่ 5 ซึ่งมีระดับความเป็นกรดเป็นด่างของดินเป็นกรดปานกลาง (pH 5.6-6.0) ถึงกรดเล็กน้อย (pH 6.1-6.5) ทั้งนี้ผลคงเนื่องมาจากการที่มีปริมาณของแคลเซียมและแมกนีเซียมที่เพิ่มสูงขึ้นจึงทำให้ปฏิกิริยาดินเพิ่มสูงขึ้น

สำหรับค่าปฏิกิริยาดินที่วัดด้วย pH-meter โดยใช้อัตราส่วนดินต่อน้ำ 1:1 พบว่ามีค่าปฏิกิริยาดินสูงกว่าอัตราส่วนดินต่อ 1 NKCl 1:1 ทุกบริเวณ ซึ่งค่าความแตกต่าง (pH in KCl-pH in H₂O) เรียกว่า Δ pH โดยค่า Δ pH จะแสดงถึงความรุนแรงของการสูญเสียดิวและขบวนการเคมีต่างๆ ที่เกิดขึ้น (Mekera and Uehara, 1972) และ Δ pH ของระบอบความชื้นดินแบบอูติกและเปอร์อูติกมีค่าต่ำกว่าระบอบความชื้นดินแบบอูสติก (Kunaporn and Moncharoen, 1984) บริเวณที่ 1 บริเวณที่ 3 และดินบนบริเวณที่ 6 ที่มีระบอบความชื้นแบบอูติกมีค่า Δ pH ที่ต่ำกว่าบริเวณที่ 2 บริเวณที่ 4 และ บริเวณที่ 5 ที่มี ระบอบความชื้นแบบอูสติก แสดงให้เห็นว่าความรุนแรงของการสูญเสียดิวและขบวนการเคมีต่างๆ เกิดในระบอบความชื้นดินแบบอูติกมากกว่าอูสติกและเกิดมากที่สุดไนชั้นวัตถุต้นกำเนิดดิน นอกจากนี้จากการศึกษาแสดงให้เห็นถึงระบอบความชื้นดินแบบอูติกซึ่งมีค่าความสูงจากระดับน้ำทะเลมากกว่า 1000 เมตรขึ้นไป ในขณะที่ระบอบความชื้นดินแบบอูสติกมีความสูงจากระดับน้ำทะเลต่ำกว่า 1000 เมตรลงมา

Depth (cm)	Horizon	pH (1:1, H ₂ O)	C.E.C. (me/100 g)	B.S. (%)	O.M. (%)	Avai.P (ppm)	Avai.K (ppm)	Exch.Ca (me/100 g)	Exch. Mg (me/100 g)	Exch. Na (me/100 g)
0-20	A1	4.68	25.55	4.97	8.60	14.00	125.25	0.52	0.21	0.22
20-38	A&B	5.00	15.26	4.91	3.88	6.00	69.25	0.31	0.06	0.20
38-64	Bw1	4.95	11.48	5.66	1.84	3.50	41.25	0.30	0.07	0.18
1 64-120	Bw2	4.85	8.81	7.04	1.41	3.50	19.25	0.31	0.06	0.20
120-180	Bw3	5.09	8.02	8.60	0.42	3.00	34.50	0.32	0.08	0.20
180-320	Bw4	5.58	6.92	35.40	0.50	2.50	83.75	0.44	1.62	0.18
320-400	Cr	5.20	9.75	7.18	0.07	6.00	31.00	0.32	0.12	0.18
0-15	A1	6.23	29.42	34.50	9.56	41.25	76.25	5.22	4.52	0.21
15-28	A3	5.10	15.10	19.67	2.37	6.00	326.85	0.58	1.40	0.15
28-55	Bt21	4.85	13.84	10.98	1.42	4.50	62.50	0.31	0.90	0.15
2 55-140	Bt22	4.90	12.59	15.73	0.64	2.00	36.25	0.38	1.34	0.17
140-280	Bw3	5.28	10.38	22.93	0.71	3.00	35.00	0.81	1.20	0.28
280-550	Cr1	5.89	8.81	82.97	0.07	6.00	23.75	2.77	4.05	0.43
550-600	Cr2	6.29	6.92	94.22	0.36	7.50	22.50	1.86	4.17	0.43
0-10	A1	4.89	29.11	8.48	10.56	9.50	22.50	0.40	1.71	0.30
10-28	A3	4.60	21.08	4.17	6.78	4.50	45.63	0.32	0.11	0.33
28-65	B1	4.88	18.88	5.61	4.78	2.50	30.63	0.54	0.15	0.29
3 65-110	Bt21	4.95	11.33	8.12	2.20	3.00	39.38	0.37	0.16	0.29
110-160	Bt22	5.04	8.34	8.39	1.17	2.00	15.63	0.30	0.09	0.27
160-210	Bt23	5.05	5.51	13.07	0.43	4.50	8.13	0.31	0.09	0.30
210-240	Bw3	4.75	4.88	15.78	0.32	2.50	11.88	0.34	0.10	0.30
0-10	A1	5.20	25.80	21.70	7.28	8.00	641.25	1.54	2.08	0.34
10-30	B1	4.78	13.84	17.27	2.50	6.00	253.75	0.62	0.83	0.29
30-55	Bt21	4.90	14.71	13.32	2.02	3.50	274.38	0.40	0.57	0.29
4 55-80	Bt22	4.85	12.04	15.86	1.42	3.00	311.88	0.40	0.40	0.31
80-120	Bt23	4.85	8.50	22.59	1.00	3.50	250.63	0.54	0.40	0.34
120-180	B3	4.85	8.81	23.38	0.72	3.00	223.13	0.70	0.47	0.32
180-200	Cr	4.80	8.96	18.64	0.66	3.50	251.25	0.47	0.30	0.26
0-15	A1	5.35	16.20	37.16	2.50	3.50	600.63	2.53	1.69	0.26
15-30	A3	6.10	11.80	40.51	1.56	4.50	378.75	1.93	1.59	0.29
30-70	Bt21	5.80	14.71	36.57	1.00	8.00	343.75	2.08	2.07	0.35
5 70-100	B(t)22	5.98	13.22	36.84	0.57	4.50	232.50	2.06	1.93	0.29
100-180	B23	5.69	11.01	40.33	0.32	4.50	248.75	1.55	2.00	0.25
180-240	BC1	5.42	9.12	41.67	0.18	4.50	125.00	1.18	2.03	0.27
240-350	BC2	6.15	8.33	51.14	0.07	6.50	117.50	1.35	2.38	0.23
0-10	Ap	4.79	18.09	27.2	10.46	10.00	221.88	2.96	1.07	0.32
10-30	A3	4.25	15.26	11.80	3.64	6.50	100.63	1.00	0.26	0.28
30-70	B1	5.12	9.90	8.89	0.46	3.50	16.88	0.37	0.11	0.36
6 70-170	Bt21	5.20	10.07	10.13	0.38	2.00	43.13	0.36	0.22	0.33
170-265	Bt22	5.40	10.40	6.83	0.32	3.00	61.25	0.21	0.07	0.27
265-375	Bt23	5.35	6.29	12.24	0.04	2.50	6.88	0.29	0.12	0.34
375-500	B3	5.50	13.37	5.76	0.23	1.50	38.13	0.29	0.08	0.30

ตารางที่ 13 ผลการวิเคราะห์คุณสมบัติทางเคมี เพื่อใช้ในการประเมินความอุดมสมบูรณ์ของดิน

Depth (cm)	pH (1:1, H ₂ O)	C.E.C. (me/100 g)	B.S. (%)	O.M. (%)	Avai.P (ppm)	Avai.K (ppm)	Exch.Ca (me/100 g)	Exch. Mg (me/100 g)	Exch. Na (me/100 g)	Natural Fertility	
0-20	Ve. st. ac.	H	L	VH	M	VH	VL	VL	L	M	M
20-38	Ve. st. ac.	MH	L	H	ML	M	VL	VL	L	ML	
38-64	Ve. st. ac.	M	L	M	L	L	VL	VL	L	L	
1 64-120	Ve. st. ac.	ML	L	ML	L	VL	VL	VL	L	L	L
120-180	Ve. st. ac.	ML	L	VL	L	L	VL	VL	L	L	
180-320	st. ac.	ML	M	L	VL	M	VL	M	L	ML	
320-400	st. ac.	ML	L	VL	ML	L	VL	VL	L	L	L
0-15	sl. ac.	H	L	VH	H	M	M	H	L	MH	M
15-28	st. ac.	MH	L	M	ML	VH	VL	M	L	ML	
28-55	Ve. st. ac.	M	L	ML	L	M	VL	L	L	L	
2 55-140	Ve. st. ac.	M	L	L	VL	L	VL	M	L	L	L
140-280	St. ac.	ML	L	L	L	L	VL	M	L	L	
280-550	Mo. ac.	ML	H	VL	ML	VL	L	H	M	ML	
550-600	Sl. ac.	ML	H	VL	ML	VL	VL	H	M	ML	ML
0-10	Ve. st. ac.	H	L	VH	ML	VL	VL	M	M	ML	ML
10-28	Ve. st. ac.	H	L	VH	L	L	VL	VL	M	ML	
28-65	Ve. st. ac.	MH	L	VH	VL	L	VL	VL	L	ML	
3 65-110	Ve. st. ac.	M	L	M	L	L	VL	VL	L	L	
110-160	Ve. st. ac.	ML	L	ML	VL	VL	VL	VL	L	L	L
160-210	Ve. st. ac.	ML	L	VL	L	VL	VL	VL	M	L	
210-240	Ve. st. ac.	L	L	VL	VL	VL	VL	VL	M	L	
0-10	St. ac.	H	L	VH	ML	VH	VL	M	M	M	M
10-30	Ve. st. ac.	M	L	MH	ML	VH	VL	L	L	ML	
30-55	Ve. st. ac.	M	L	M	L	VH	VL	L	L	ML	
4 55-80	Ve. st. ac.	M	L	ML	L	VH	VL	L	M	ML	ML
80-120	Ve. st. ac.	ML	L	ML	L	VH	VL	L	M	ML	
120-180	Ve. st. ac.	ML	L	L	L	VH	VL	L	M	ML	
180-200	Ve. st. ac.	ML	L	L	L	VH	VL	L	L	ML	ML
0-15	St. ac.	MH	M	MH	L	VH	L	M	L	M	M
15-30	Sl. ac.	M	M	M	L	VH	VL	M	L	ML	
30-70	Mo. ac.	M	M	ML	ML	VH	L	M	M	ML	
5 70-100	Mo. ac.	M	M	L	L	VH	L	M	L	ML	ML
100-180	Mo. ac.	M	M	VL	L	VH	VL	M	L	ML	
180-240	St. ac.	ML	M	VL	L	VH	VL	M	L	ML	
240-350	Sl. ac.	ML	M	VL	ML	H	VL	M	L	ML	ML
0-10	Ve. st. ac.	MH	L	VH	M	VH	L	M	M	M	M
10-30	Rx. ac.	MH	L	H	ML	H	VL	VL	L	ML	
30-70	St. ac.	ML	L	VL	L	VL	VL	VL	M	L	
6 70-170	St. ac.	M	L	VL	VL	L	VL	VL	M	L	
170-265	St. ac.	M	L	VL	L	M	VL	VL	L	L	L
265-375	St. ac.	ML	L	VL	VL	VL	VL	VL	M	L	
375-500	St. ac.	M	L	VL	VL	L	VL	VL	M	L	

ตารางที่ 14 การประเมินความอุดมสมบูรณ์ของดินโดยใช้คุณสมบัติทางเคมีบางประการ

3.3.3.2 ความจุในการแลกเปลี่ยนประจุบวกของดิน

ความจุในการแลกเปลี่ยนประจุบวกของดินทุกบริเวณมีค่าค่อนข้างสูง (15.0-20.0 มิลลิกรัมสมมูลย์/100 กรัมของดิน) ถึงสูง (20.0-30.0 มิลลิกรัมสมมูลย์/100 กรัมของดิน) ในดินบน และมีค่าค่อนข้างต่ำ (5.0-10.0 มิลลิกรัมสมมูลย์/100 กรัมของดิน) ถึงปานกลาง (10.0-15.0 มิลลิกรัมสมมูลย์/100 กรัมของดิน) ในดินล่างและชั้นวัตถุต้นกำเนิดดิน

3.3.3.3 ความสามารถของดินในการดูดซับธาตุที่เป็นประจุบวกต่าง

ความสามารถของดินในการดูดซับธาตุที่เป็นประจุบวกต่างทุกบริเวณมีค่าต่ำ (น้อยกว่า 35%) ตลอดทั้งหน้าตัดดิน ยกเว้นตลอดทั้งหน้าตัดดินบริเวณที่ 5 ที่มีค่าปานกลาง (35-75%) และชั้นวัตถุต้นกำเนิดดินบริเวณที่ 2 ที่มีค่าสูง (มากกว่า 75%) ทั้งนี้เนื่องมาจากผลของการเพิ่มสูงขึ้นมากของปริมาณแคลเซียมและแมกนีเซียมมากกว่าในบริเวณอื่นจึงทำให้ค่าของปริมาณธาตุที่เป็นค่าที่ดินดูดซับไว้มีค่าสูงตามไปด้วย

3.3.3.4 ปริมาณอินทรีย์วัตถุ

ปริมาณอินทรีย์วัตถุทุกบริเวณมีค่าค่อนข้างสูง (2.5-3.5%) ถึงสูงมาก (มากกว่า 4.5 %) ในดินบน และค่อยๆ ลดลงตามความลึกของดินจากค่าปานกลาง (1.5-2.5%) ถึงต่ำมาก (น้อยกว่า 0.5%) ในดินล่างและชั้นวัตถุต้นกำเนิดดิน

3.3.3.5 ปริมาณธาตุไนโตรเจน

ปริมาณธาตุไนโตรเจนทุกบริเวณมีค่าค่อนข้างสูงในดินบน และค่อยๆ ลดลงตามความลึกของดินจนมีค่าต่ำสุดในชั้นวัตถุต้นกำเนิดดิน โดยค่าปริมาณธาตุไนโตรเจนจะผันแปรตามปริมาณอินทรีย์วัตถุ (Stevenson, 1982) ซึ่งจากการสังเกตในดินบนบริเวณที่ 5 ซึ่งมีปริมาณอินทรีย์วัตถุต่ำกว่าบริเวณอื่นๆ มีผลทำให้ปริมาณธาตุไนโตรเจนต่ำกว่าบริเวณอื่นด้วย และผลที่มีปริมาณอินทรีย์วัตถุต่ำลงเนื่องมาจากมีความลาดเทสูงกว่าบริเวณอื่นนั่นเอง (ดูตารางที่ 9)

ส่วนค่าอัตราส่วนของคาร์บอนต่อไนโตรเจนมีค่าปานกลาง (10.0-12.0) ในดินบนและลดลงเล็กน้อยในดินล่าง และมีค่าน้อย (น้อยกว่า 10) ในชั้นวัตถุต้นกำเนิดดิน

3.3.3.6 ปริมาณธาตุฟอสฟอรัสที่เป็นประโยชน์

ปริมาณธาตุฟอสฟอรัสที่เป็นประโยชน์ทุกบริเวณ มีค่าค่อนข้างต่ำ (6-10 ppm) ถึงปานกลาง (10-15 ppm) ยกเว้นในดินบนบริเวณที่ 2 ที่มีค่าสูง (25-45 ppm) และมีค่าต่ำมาก (น้อยกว่า 3 ppm) ถึงค่อนข้างต่ำ (6-10 ppm) ในดินล่างและชั้นวัตถุต้นกำเนิดดิน

3.3.3.7 ปริมาณธาตุโปแตสเซียมที่เป็นประโยชน์

ปริมาณธาตุโปแตสเซียมที่เป็นประโยชน์ทุกบริเวณมีค่า

ผันแปรแตกต่างกัน โดยบริเวณที่ 1 บริเวณที่ 2 และบริเวณที่ 6 มีค่าสูงมาก (มากกว่า 120 ppm) ในดินบนและลดลงตามความลึกของดินจนถึงค่าต่ำมาก (น้อยกว่า 30 ppm) ถึงต่ำ (30-60 ppm) ตลอดทั้งหน้าตัดดิน ในขณะที่บริเวณที่ 4 และบริเวณที่ 5 มีค่าสูงมาก ตลอดทั้งหน้าตัดดิน ส่วนบริเวณที่ 3 มีค่าต่ำถึงต่ำมาก ตลอดทั้งหน้าตัดดิน

3.3.3.8 ปริมาณธาตุแคลเซียมที่แลกเปลี่ยนที่ได้

ปริมาณธาตุแคลเซียมที่แลกเปลี่ยนที่ได้ทุกบริเวณมีค่าต่ำมาก (น้อยกว่า 2 มิลลิกรัมสมมูลย์/100 กรัมของดิน) ตลอดทั้งหน้าตัดดิน ยกเว้นในดินบนและชั้นวัตถุต้นกำเนิดดินบริเวณที่ 2 ดินบนและดินล่างบริเวณที่ 5 และดินบนบริเวณที่ 6 มีค่าต่ำ (2-5 มิลลิกรัมสมมูลย์/100 กรัมของดิน)

3.3.3.9 ปริมาณธาตุแมกนีเซียมที่แลกเปลี่ยนที่ได้

ปริมาณธาตุแมกนีเซียมที่แลกเปลี่ยนที่ได้ทุกบริเวณมีค่าผันแปรแตกต่างกันมาก โดยในบริเวณที่ 1 มีค่าต่ำมาก (น้อยกว่า 0.3 มิลลิกรัมสมมูลย์/100 กรัมของดิน) ตลอดทั้งหน้าตัดดิน ยกเว้นดินล่างในชั้นตอนล่างที่มีค่าปานกลาง (1.0-3.0 มิลลิกรัมสมมูลย์/100 กรัมของดิน) บริเวณที่ 3 และบริเวณที่ 6 มีค่าปานกลางในดินบนส่วนดินล่างมีค่าต่ำ มากบริเวณที่ 4 มีค่าปานกลางในดินบนส่วนดินล่างและชั้นวัตถุต้นกำเนิดดินมีค่าต่ำ (0.3-1.0 มิลลิกรัมสมมูลย์/100 กรัมของดิน) บริเวณที่ 5 มีค่าปานกลางตลอดทั้งหน้าตัดดิน ส่วนบริเวณที่ 2 มีค่าสูง (3.0-8.0 มิลลิกรัมสมมูลย์ต่อ 100 กรัมของดิน) ในดินบนและชั้นวัตถุต้นกำเนิดดินส่วนดินล่างมีค่าปานกลาง

3.3.3.10 ปริมาณธาตุโซเดียมที่แลกเปลี่ยนที่ได้

ปริมาณธาตุโซเดียมที่แลกเปลี่ยนที่ได้ทุกบริเวณมีค่าต่ำ (0.1-0.3 มิลลิกรัมสมมูลย์/100 กรัมของดิน) ถึงปานกลาง (0.3-0.7 มิลลิกรัมสมมูลย์/100 กรัมของดิน) ตลอดทั้งหน้าตัดดิน

3.3.3.11 ปริมาณเหล็กที่สกัดได้

ปริมาณเหล็กที่สกัดได้ทุกบริเวณมีค่าค่อนข้างสูงในดินบนและค่อนข้างลดลงตามความลึกของดิน จนมีค่าต่ำสุดในชั้นวัตถุต้นกำเนิดดิน

3.3.3.12 ความอุดมสมบูรณ์ของดิน

การประเมินความอุดมสมบูรณ์ของดินโดยใช้คุณสมบัติทางเคมีทั้ง 9 ประการ ซึ่งแสดงไว้ในตารางที่ 14 พบว่าดินบนทุกบริเวณมีความอุดมสมบูรณ์ดินปานกลาง ยกเว้นบริเวณที่ 3 มีความอุดมสมบูรณ์ดินค่อนข้างต่ำ ส่วนดินล่างในบริเวณที่ 4 และบริเวณที่ 5 มีค่าค่อนข้างต่ำ ส่วนบริเวณที่ 1 บริเวณที่ 2 บริเวณที่ 3 และบริเวณที่ 6 มีค่าต่ำ สำหรับชั้นวัตถุต้นกำเนิดดินในบริเวณที่ 2 บริเวณที่ 4 และบริเวณที่ 5 มีค่าค่อนข้างต่ำ ส่วนบริเวณที่ 1 มีค่าต่ำ ในขณะที่บริเวณที่ 3 และบริเวณที่ 6 ไม่ได้ทำการศึกษาชั้นวัตถุต้นกำเนิดดิน เมื่อทำการ

ประเมินตลอดทั้งหน้าตัดดินของทั้ง 6 บริเวณ พบว่าดินมีความอุดมสมบูรณ์ค่อนข้างต่ำทุกบริเวณ ถึงแม้ว่าจะเกิดจากหินแกรนิตที่มีอายุแตกต่างกันก็ตาม

3.3.4 จุลสังเคราะห์ดิน

จากการศึกษาทางด้านจุลสังเคราะห์ดินโดยการทำดินแค้นบาง (soil thin section) โดยอาศัยวิธีการศึกษาของ Brewer (1964) ซึ่งกระทำทุกบริเวณ แต่ละบริเวณจะทำการศึกษาน้ำตัดดินโดยเลือกเพียง 4 ชั้นดินเท่านั้น รายละเอียดคำอธิบายแต่ละชั้นดินแสดงไว้ในภาคผนวกที่ I-2

ดินชั้นบน (ชั้นเอ, A-horizon) มีลักษณะโครงสร้างของเม็ดดิน 2 แบบ โดยบริเวณที่ 1 บริเวณที่ 2 บริเวณที่ 5 และบริเวณที่ 6 มีลักษณะโครงสร้างของเม็ดดินแบบก้อนกลม (granular structure) ส่วนบริเวณที่ 3 และบริเวณที่ 4 มีลักษณะโครงสร้างของเม็ดดินแบบก้อนเหลี่ยมมุมคม (angular blocky structure) เม็ดโครงร่าง (skeleton grains) ส่วนใหญ่ประกอบด้วยแร่ควอartz ที่มีชั้นของความกลม (degree of rounding) ทั้งแบบก้อนเหลี่ยมมุมมน (subangular blocky) และก้อนเหลี่ยมมุมคม (angular blocky) ความเป็นทรงกลม (sphericity) ต่ำ ยกเว้นบริเวณที่ 6 ที่มีความเป็นทรงกลมสูง การกระจายตัว (distribution) สม่ำเสมอในบริเวณที่ 1 บริเวณที่ 3 บริเวณที่ 4 และบริเวณที่ 5 ส่วนบริเวณที่ 2 และบริเวณที่ 6 มีการกระจายตัวไม่สม่ำเสมอ ขนาดของอนุภาคควอartz ส่วนใหญ่อยู่ระหว่าง 0.02-0.5 มิลลิเมตร ช่องว่างเป็นแบบช่องว่างขนาดต่างๆ ที่อัดตัวกัน (compound packing voids) ทั้งหมด โดยมีขนาดของช่องว่างทั้งขนาดกลาง (0.03-0.1 มิลลิเมตร) และขนาดใหญ่ (มากกว่า 0.1 มิลลิเมตร) เอสเมทริกส์ภายในเม็ดดินปฐมภูมิ (S-matrix within primary peds) เป็นประเภทอะเซปิค พลาสมีค เพบริค (asepic plasmic fabric) แบบซิลลาเซปิค พลาสมีค เพบริค (silasepic plasmic fabric) ทั้งหมด

ดินชั้นล่าง (ชั้นบี, B-horizon) มีรูปลักษณ์การกระจายตัวที่แสดงความสัมพันธ์กัน (related distribution pattern) 2 แบบ โดยบริเวณที่ 1 บริเวณที่ 2 บริเวณที่ 4 และบริเวณที่ 5 เป็นแบบแอกโกลเมอโรพลาสมีค (agglomeroplasmic) ส่วนบริเวณที่ 3 และบริเวณที่ 6 เช่นแบบแอกโกลเมอโรพลาสมีค ร่วมกับแบบพอร์ไฟโรสเกลลิก (porphyroskelic) เม็ดโครงร่างส่วนใหญ่ประกอบด้วยแร่ควอartz แพลจีโอเคลส แอลคาไล เฟลด์สปาร์และไบโอไทต์ที่มีชั้นของความกลมทั้งแบบก้อนเหลี่ยมมุมมนและก้อนเหลี่ยมมุมคม ความเป็นทรงกลมมีทั้งสูงและต่ำ การกระจายตัวมีทั้งสม่ำเสมอและไม่สม่ำเสมอ ขนาดของอนุภาคที่พบ ควอartz ที่พบมีขนาดตั้งแต่ 0.01 มิลลิเมตร จนถึงมากกว่า 1.0 มิลลิเมตร แพลจีโอเคลสที่พบมีขนาดตั้งแต่ 0.05-1.0 มิลลิเมตร

แอลคาไลเฟลด์สปาร์ที่พบมีขนาด 0.1 จนถึงมากกว่า 1.0 มิลลิเมตร และไบโอไทต์ที่พบมีขนาดตั้งแต่ 0.05-0.8 มิลลิเมตร ช่องว่างส่วนใหญ่เป็นแบบเครสเฟลนส์ (craze planes) ที่มีขนาดของช่องว่างทั้งขนาดกลางและขนาดใหญ่และมีส่วนน้อยที่เป็นแบบโพรง (vughs) ที่มีขนาดของช่องว่างทั้งขนาดกลางและขนาดใหญ่และแบบช่องว่างขนาดต่างๆ ที่อัดตัวกันที่มีขนาดของช่องว่างขนาดกลาง สำหรับลักษณะที่เกิดเกิดจากขบวนการทางดิน (pedological features) พบว่ามีกาเกิดส่วนเคลือบบริเวณผิว (cutan) ของแร่ดินเหนียว (argillans) ที่พบส่วนใหญ่บริเวณร่องระนาบ (plane) เม็ดแร่อิสระ (free grain) และเม็ดดิน (ped) โดยพบว่าเกิดชัดเจนมากในบริเวณที่ 2 บริเวณที่ 4 และบริเวณที่ 6 ส่วนบริเวณที่ 1 บริเวณที่ 3 และบริเวณที่ 5 เกิดไม่ค่อยชัดเจน สำหรับการเกิดเกลบูลส์ (glaebules) ที่พบส่วนใหญ่เป็นแบบก้อนแร่ทึบ (nodules) ของสารเฟอร์ริเจเนียส (ferruginous) และอาร์กิลลาเซียส (argillaceous) ที่มีขนาดมากกว่า 0.1 มิลลิเมตร ยกเว้นบริเวณที่ 2 ที่พบแบบเบปูลส์ (papules) ของสารเฟอร์ริเจเนียส และบริเวณที่ 6 ที่ไม่ค่อยพบเกลบูลส์เลย เอสเมทริกส์ภายในเม็ดดินที่พบมี 2 ประเภทโดยบริเวณที่ 1 บริเวณที่ 2 และบริเวณที่ 3 เป็นประเภทอะเซปิก พลาสมิก เพบริค ซึ่งมีทั้งแบบซีลลาเซปิก พลาสมิก เพบริคและแบบอาร์กิลลาเซปิก พลาสมิก เพบริค (argillasepic plasmic fabric) ส่วนในบริเวณที่ 4 บริเวณที่ 5 และบริเวณที่ 6 เป็นประเภทเซปิก พลาสมิก เพบริค (sepic plasmic fabric) ซึ่งมีหลายแบบทั้งแบบอินเซปิก พลาสมิก เพบริค (insepic plasmic fabric) แบบโมเซปิก พลาสมิก เพบริค (mosepic plasmic fabric) แบบโวเซปิก พลาสมิก เพบริค (vosepic plasmic fabric) แบบสเคลเซปิก พลาสมิก เพบริค (skelsepic plasmic fabric) แบบมาเซปิก พลาสมิก เพบริค (masepic plasmic fabric) และแบบไบมาเซปิก พลาสมิก เพบริค (bimasepic plasmic fabric)

ชั้นวัตถุต้นกำเนิดดิน (ชั้นซี, C-horizon) มีการศึกษาเฉพาะบริเวณที่ 1 บริเวณที่ 2 บริเวณที่ 4 และบริเวณที่ 5 เท่านั้นส่วนบริเวณที่ 3 และบริเวณที่ 6 ศึกษาไม่ถึงชั้นวัตถุต้นกำเนิดดินเนื่องจากดินมีความลึกมาก ซึ่งผลที่ได้พบว่าทุกบริเวณมีเม็ดโครงร่างส่วนใหญ่ประกอบด้วยแร่ควอร์ตซ์ที่มีขนาดตั้งแต่ 0.05 มิลลิเมตรจนถึงมากกว่า 2.0 มิลลิเมตร แพลจีโอเคลสที่มีขนาดตั้งแต่ 0.1 มิลลิเมตรจนถึงมากกว่า 2.0 มิลลิเมตร ยกเว้นบริเวณที่ 5 ที่ไม่ค่อยพบเลย แอลคาไลเฟลด์สปาร์ที่มีขนาดตั้งแต่ 0.2 จนถึงมากกว่า 2.0 มิลลิเมตร ยกเว้นบริเวณที่ 1 ที่ไม่ค่อยพบเลย ไบโอไทต์ที่มีขนาดตั้งแต่ 0.02-1.0 มิลลิเมตร ยกเว้นบริเวณที่ 2 ที่ไม่ค่อยพบเลย และคลอไรต์ที่พบแต่เฉพาะในบริเวณที่ 2 เท่านั้น ช่องว่างที่พบในบริเวณที่ 2 บริเวณที่ 4 และบริเวณที่ 5 เป็นแบบเครสเฟลนส์ที่มีขนาดของช่องว่างทั้งขนาดกลางและขนาดใหญ่ ส่วนบริเวณที่ 1 เป็นแบบสกุว์เฟลนส์ที่ขนาดของช่องว่างเป็นขนาดกลางเท่านั้น

3.3.5 องค์ประกอบทางแร่ของอนุภาคทรายขนาดละเอียดมาก

จากการศึกษาทางด้านองค์ประกอบทางแร่ของอนุภาคทรายขนาดละเอียดมาก (0.05-0.1 มิลลิเมตร) กระจายทุกบริเวณ แต่ละบริเวณจะทำการศึกษาหน้าตัดดินโดยเลือกเพียง 4 ชั้นดินเท่านั้น ซึ่งพอสรุปผลการเปลี่ยนแปลงปริมาณของอนุภาคทรายขนาดละเอียดมากได้ดังตารางที่ 15 ส่วนเปอร์เซ็นต์การเปลี่ยนแปลงของแร่โดยละเอียดแสดงไว้ในภาคผนวกที่ II

ดินชั้นบน (ชั้นเอ, A-horizon) ปริมาณแร่ของอนุภาคทรายขนาดละเอียดมาก บริเวณที่ 1 ปริมาณแร่ไบโอไทต์ = ควออตซ์ > เฟลด์สปาร์
บริเวณที่ 2 ปริมาณแร่เฟลด์สปาร์ > ควออตซ์ = ไบโอไทต์ บริเวณที่ 3 ปริมาณแร่ ควออตซ์ >> ไบโอไทต์ > เฟลด์สปาร์ บริเวณที่ 4 ปริมาณแร่เฟลด์สปาร์ >> ควออตซ์ > แร่อื่นๆ บริเวณที่ 5 ปริมาณแร่เฟลด์สปาร์ > ควออตซ์ > ไบโอไทต์ บริเวณที่ 6 ปริมาณแร่ควออตซ์ > ไบโอไทต์ > แร่ที่บดแสง

ดินชั้นล่าง (ชั้นบี, B-horizon) ปริมาณแร่ของอนุภาคทรายขนาดละเอียดมาก บริเวณที่ 1 ปริมาณแร่ไบโอไทต์ > เฟลด์สปาร์ > ควออตซ์ บริเวณที่ 2 ปริมาณแร่เฟลด์สปาร์ > ไบโอไทต์ > ควออตซ์ บริเวณที่ 3 ปริมาณแร่ควออตซ์ >> เฟลด์สปาร์ > แร่อื่นๆ บริเวณที่ 4 ปริมาณแร่เฟลด์สปาร์ >> ไบโอไทต์ > ควออตซ์ บริเวณที่ 5 ปริมาณแร่เฟลด์สปาร์ > ไบโอไทต์ > ควออตซ์ บริเวณที่ 6 ปริมาณแร่ควออตซ์ >> แร่ที่บดแสง = ไบโอไทต์ แสดงว่าบริเวณที่ 1 บริเวณที่ 2 บริเวณที่ 4 บริเวณที่ 5 และบริเวณที่ 6 เกิดขบวนการแปรสภาพน้อยเนื่องจากมีเปอร์เซ็นต์ของแร่ควออตซ์ต่ำ ในขณะที่บริเวณที่ 3 และบริเวณที่ 6 เกิดขบวนการแปรสภาพมากเนื่องจากมีเปอร์เซ็นต์ของแร่ควออตซ์สูง

ชั้นวัตถุต้นกำเนิดดิน (ชั้นซี, C-horizon) ปริมาณแร่ของอนุภาคทรายขนาดละเอียดมากมีการศึกษาเฉพาะบริเวณที่ 1 บริเวณที่ 2 บริเวณที่ 4 และบริเวณที่ 5 เท่านั้นส่วนบริเวณที่ 3 และบริเวณที่ 6 ศึกษาไม่ถึงชั้นวัตถุต้นกำเนิดดิน เนื่องจากดินมีความลึกมาก โดยบริเวณที่ 1 ปริมาณแร่เฟลด์สปาร์ > ไบโอไทต์ > ควออตซ์ บริเวณที่ 2 ปริมาณแร่ไบโอไทต์ >> เฟลด์สปาร์ > ควออตซ์ บริเวณที่ 4 ปริมาณแร่เฟลด์สปาร์ >> ไบโอไทต์ > ควออตซ์ และบริเวณที่ 5 ปริมาณแร่เฟลด์สปาร์ > ไบโอไทต์ > ควออตซ์

จากการสังเกตพบว่าอาจมีความสัมพันธ์กันระหว่างเปอร์เซ็นต์ของแร่เฟลด์สปาร์มีอนุภาคทรายขนาดละเอียดมากที่มีมากกว่า 50 เปอร์เซ็นต์ตลอดทั้งหน้าตัดดินในบริเวณที่ 4 และบริเวณที่ 5 กับปริมาณธาตุโปแตสเซียมที่เป็นประโยชน์ซึ่งมีค่าสูงกว่าบริเวณอื่น อย่างชัดเจน

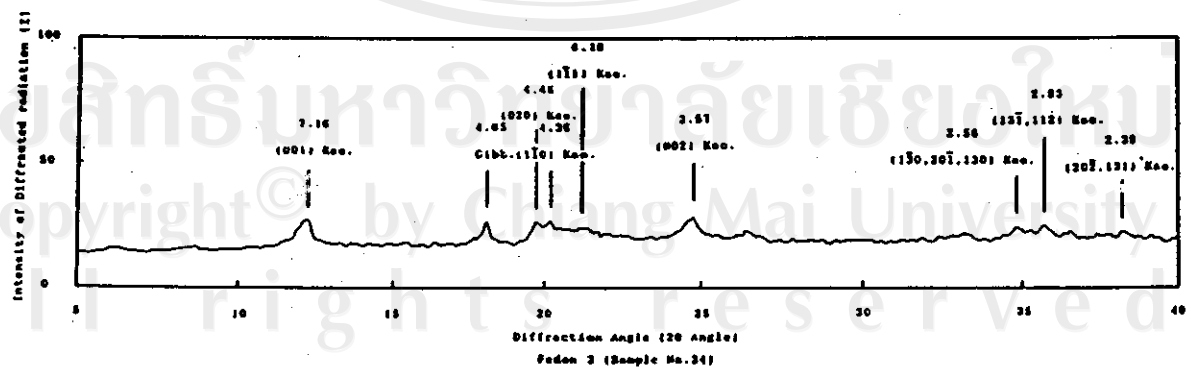
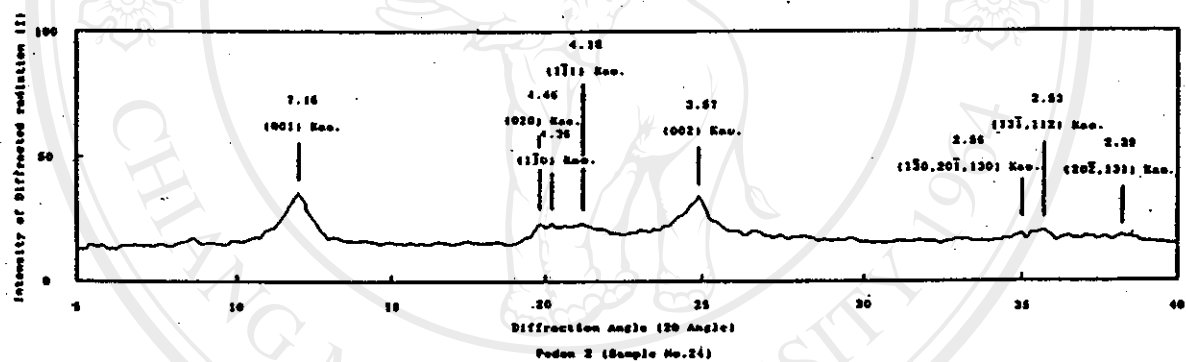
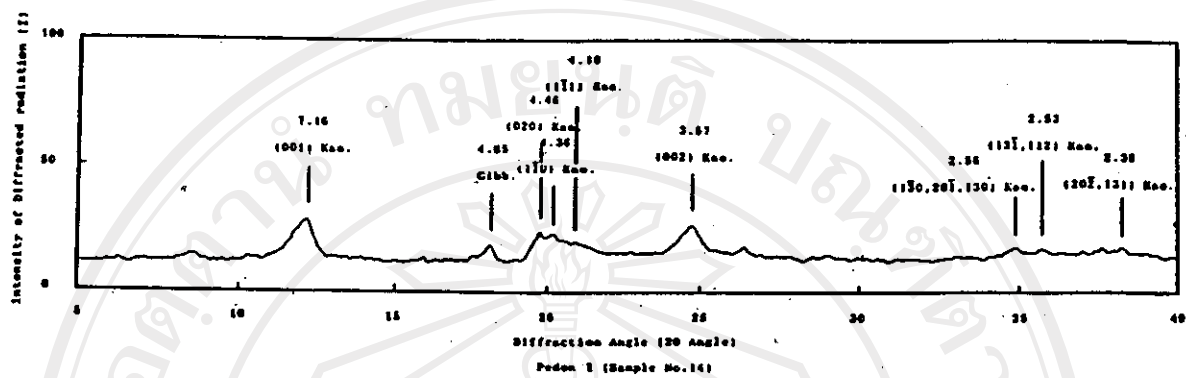
3.3.6 ชนิดของแร่ดินเหนียว

จากการวิเคราะห์แร่ดินเหนียวโดยใช้รังสีเอกซ์ (X-ray diffraction techniques) จากทุกบริเวณ แต่ละบริเวณจะเลือกเพียง 1 ชั้นดินที่ส่วนของดินล่างเท่านั้น ซึ่งผลจากการจะได้กราฟดังรูปที่ 3 และรูปที่ 4 เมื่อนำ

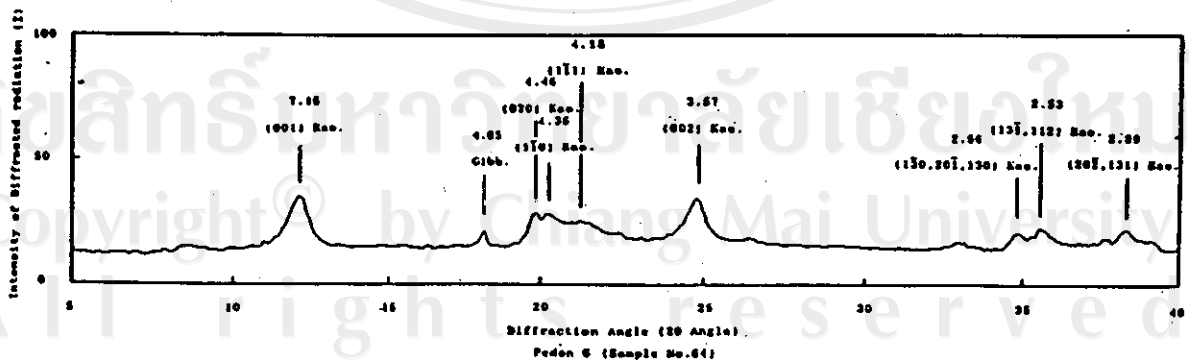
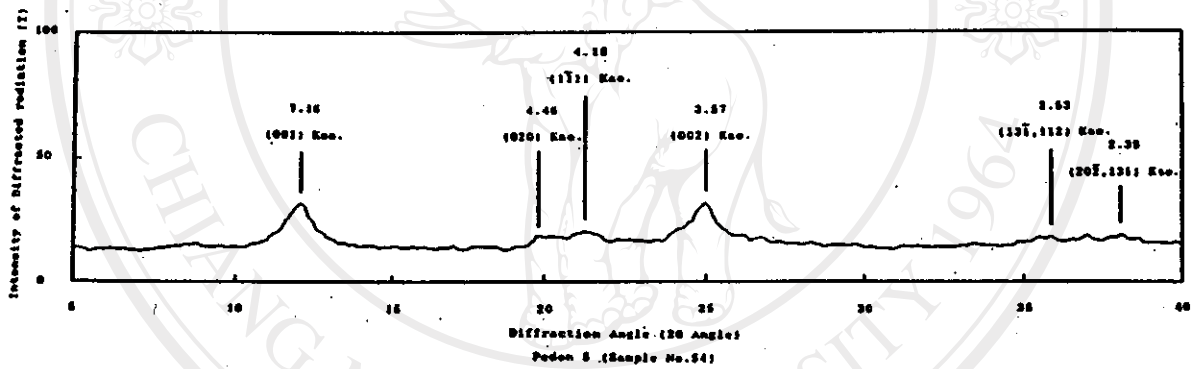
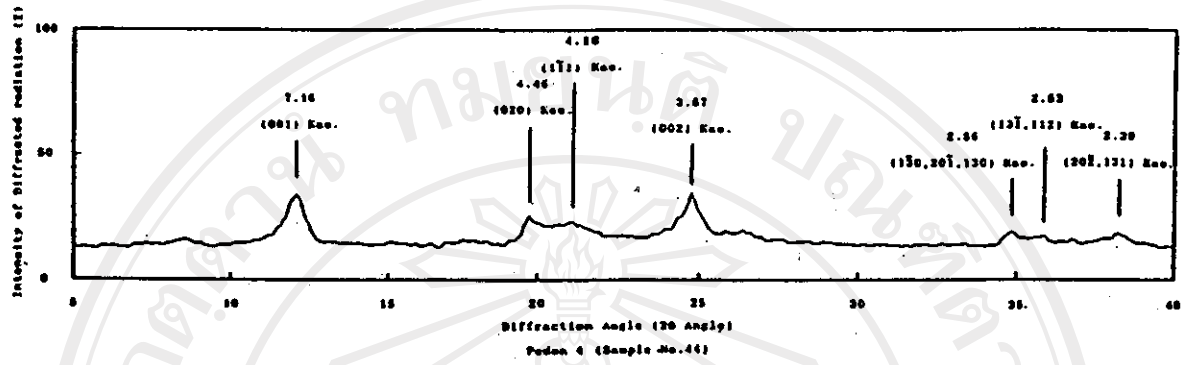
บริเวณที่	ชั้นดิน	ควอเตอร์	เฟลด์สปาร์	ไบโตะไทต์	แร่หินผลง	แร่อื่น ๆ
1	A	++	++	++	-	+
	B	+	++	+++	-	+
	C	+	+++	++	-	+
2	A	++	++	++	+	+
	B	++	+++	++	-	+
	C	+	++	++++	-	+
3	A	+++	+	+	+	+
	B	++++	+	+	-	+
	C	x	x	x	x	x
4	A	++	++++	-	-	+
	B	+	++++	+	-	+
	C	+	++++	++	-	+
5	A	++	+++	+	-	+
	B	+	+++	++	-	+
	C	+	+++	++	-	+
6	A	+++	-	++	+	+
	B	+++	-	+	+	+
	C	x	x	x	x	x

พบเล็กน้อย	+	=	0 - 20%
	++	=	20 - 40%
	+++	=	40 - 60%
	++++	=	60 - 80%
	+++++	=	80 - 100%
	-	=	ไม่พบ
	x	=	ไม่มีข้อมูล

ตารางที่ 15 การเปลี่ยนแปลงปริมาณแร่ของอนุภาคทรายขนาดละเอียดมากในแต่ละชั้นดินของทั้ง 6 บริเวณ



รูปที่ 3 ผลการวิเคราะห์แร่ดินเหนียวในตัวอย่างดินหมายเลข 14, 24 และ 34 โดยใช้รังสีเอกซ์



รูปที่ 4 ผลการวิเคราะห์แร่ดินเหนียวในตัวอย่างดินหมายเลข 44, 54 และ 64 โดยใช้รังสีเอกซ์

กราฟมาศึกษาทางด้านกึ่งปริมาณ (semiquantitative) พบว่าบริเวณที่ 2 บริเวณที่ 4 และบริเวณที่ 5 ซึ่งมีความสูงจากระดับน้ำทะเล 900 920 และ 940 เมตรตามลำดับและมีสภาพระบอบความชื้นดินแบบอูสติก พบว่ามีแร่ดินเหนียวชนิดแร่เคโอลิไนต์ (kaonite) ปริมาณมากกว่า 1/2 ของแร่ดินเหนียวทั้งหมด ในขณะที่บริเวณที่ 1 บริเวณที่ 3 และบริเวณที่ 6 ซึ่งมีความสูงจากระดับน้ำทะเล 1580, 1200 และ 1300 เมตรตามลำดับและมีสภาพระบอบความชื้นดินแบบอูติก มีแร่ดินเหนียวชนิดแร่เคโอลิไนต์ ปริมาณมากกว่า 1/2 ของแร่ดินเหนียวทั้งหมด และยังพบแร่ดินเหนียวชนิดแร่กิบไซต์ (gibbsite) ปริมาณระหว่าง 1/12 - 1/5 ของแร่ดินเหนียวทั้งหมดในบริเวณที่ 1 และบริเวณที่ 6 และปริมาณระหว่าง 1/3 - 1/2 ของแร่ดินเหนียวทั้งหมดในบริเวณที่ 3 จากผลที่ได้แสดงให้เห็นว่าความสูงจากระดับน้ำทะเลและสภาพระบอบความชื้นดินมีอิทธิพลในการเกิดชนิดของแร่ดินเหนียวโดยเฉพาะแร่กิบไซต์ นอกเหนือไปจากอิทธิพลของวัตถุต้นกำเนิดดิน

3.3.7 การกำเนิดดิน

ดินที่ทำการศึกษานี้ทั้ง 6 บริเวณนี้มีการพัฒนาการมาจากขบวนการผุพังพังสลายตัว (weathering process) ที่เกิดอยู่กับที่ (in situ) ของหินแกรนิตที่เกิดในยุคไทรแอสซิกและยุคคาร์บอนิเฟอรัส โดยขบวนการทางฟิสิกส์ เช่น การปลดปล่อยแรงกดคั้น (unloading) และอื่นๆ และขบวนการทางเคมี เช่น ปฏิกิริยาไฮโดรไลซิส (hydrolysis) และอื่นๆ ทำให้เกิดขึ้นวัตถุต้นกำเนิดดิน ซึ่งเมื่อผสมคลุกเคล้ากับอินทรีย์วัตถุที่ได้จากสิ่งที่มีชีวิต และเกิดขบวนการสร้างดิน (pedological process) จากการเพิ่มเติม (additions) การสูญเสีย (removals) การโยกย้าย (transfers) และการแปรสภาพ (transformations) (Simonson, 1959) โดยมีปัจจัยที่ควบคุมการเกิดของดินที่สำคัญ คือ ลักษณะภูมิอากาศ ลักษณะภูมิประเทศ สิ่งที่มีชีวิต วัตถุต้นกำเนิดดิน และระยะเวลา จะทำให้ได้หน้าตัดดินที่แตกต่างกันออกไปทั้งในด้านสัณฐานวิทยา คุณสมบัติทางเคมี คุณสมบัติทางฟิสิกส์ และอื่นๆ

จากการศึกษาพบว่าวัตถุต้นกำเนิดดินที่เกิดจากหินแกรนิตต่างอายุกันไม่ค่อยมีผลต่อการเปลี่ยนแปลงของดินมากนักเนื่องจากมีปัจจัยอื่นๆ อีกหลายประการดังกล่าวมาแล้วข้างต้น ยกเว้นในบริเวณที่ 5 ซึ่งเกิดจากหินแกรนิตยุคไทรแอสซิก จากการศึกษาของ Teggin (1975) พบว่าหินบริเวณนี้ส่วนใหญ่จะพบหินแปลกปลอมสีเขียวเข้ม (mafic xenoliths) ที่ประกอบด้วยแร่ไบโอไทต์ และแร่แอมฟิโบลสีเขียวพวกแร่ฮอร์นเบลนด์ค่อนข้างมาก จากผลการวิเคราะห์หินแปลกปลอมสีเขียวเข้มนี้พบว่ามีปริมาณของแคลเซียมออกไซด์ถึง 2.84 เปอร์เซ็นต์และแมกนีเซียมออกไซด์ถึง 5.16 เปอร์เซ็นต์ ดังนั้นจึงอาจเป็นสาเหตุที่ทำให้ปริมาณของธาตุแคลเซียมและแมกนีเซียมที่แลกเปลี่ยนนี้ได้ตลอดทั้งหน้าตัดดินสูงและมีผลทำให้เปอร์เซ็นต์ความอิ่มตัวด้วยประจุบวกต่างสูงตามไปด้วย

3.3.8 การจำแนกดิน

ดินที่ทำการศึกษากว่า 6 บริเวณนี้ สามารถจัดจำแนกตามระบบอนุกรมวิธานดิน (Soil Taxonomy) ของสหรัฐอเมริกา (USDA, 1975) ได้ 3 อันดับ (orders) โดยหน้าตัดดินบริเวณที่ 1 จัดอยู่ในอันดับอินเซปติโซลส์ (Inceptisols) เนื่องจากมีลักษณะชั้นดินวินิจฉัย (diagnostic horizons) ของชั้นแคมบิค (cambic horizon) ซึ่งมีการสะสมของอนุภาคดินเหนียวในดินชั้นล่างไม่ชัดเจน ในขณะที่หน้าตัดดินบริเวณที่ 2 บริเวณที่ 3 บริเวณที่ 4 และบริเวณที่ 6 จัดอยู่ในอันดับดินอัลติโซลส์ (Ultisols) เนื่องจากมีลักษณะชั้นดินวินิจฉัยของชั้นอาร์จิลลิก (argillic horizon) ชัดเจนและที่มีการอิมตัวด้วยประจุบวกค่างน้อยกว่า 35 เปอร์เซ็นต์ ส่วนหน้าตัดดินบริเวณที่ 5 จัดอยู่ในอันดับดินอัลฟิโซลส์ (Alfisols) เนื่องจากมีลักษณะชั้นดินวินิจฉัยของชั้นอาร์จิลลิกชัดเจนและมีการอิมตัวด้วยประจุบวกค่างมากกว่า 35 เปอร์เซ็นต์ เมื่อนำการจัดจำแนกตามระบบอนุกรมวิธานดินของ USDA (1975) เปรียบเทียบกับระบบ USDA (1938) และกับระบบ FAO (1974) จะได้ดังตารางที่ 16

บริเวณที่	USDA(1975)	USDA (1938)	FAO(1974)
1	Fine-silty, mixed, isothermic, Oxic Humitropepts	Humic Latosols	Humic Cambisols
2	Fine-clayey, kaolinitic, isothermic, Ustoxic Tropohumults	Reddish-Brown Lateritic soils	Orthic Acrisols
3	Fine-clayey, kaolinitic, isothermic, Orthoxic Tropohumults	Reddish-Brown Lateritic soils	Orthic Acrisols
4	Fine-clayey, kaolinitic, isothermic, Ustoxic Tropohumults	Reddish-Brown Lateritic soils	Orthic Acrisols
5	Fine-silty, mixed, isothermic, Ultic Haplustalfs	Red-Yellow Podzolic soils	Dystric Nitosols
6	Fine-clayey, kaolinitic, isothermic, Orthoxic Tropohumults	Reddish-Brown Lateritic soils	Orthic Acrisols

ตารางที่ 16 ผลการจำแนกดินตามระบบอนุกรมวิธานดินของ USDA (1975) เปรียบเทียบกับระบบ USDA (1938) และกับระบบ FAO (1974)

3.3.9 ศักยภาพและการใช้ประโยชน์ที่ดิน

จากการศึกษาอัตราส่วนการแตกกระจายของเม็ดดิน (dispersion ratio) ซึ่งผลการศึกษาดังตารางที่ 17 พบว่าดินบริเวณที่ 1 บริเวณที่ 2 และ

หมายเลข ตัวอย่าง	ความลึก (เซนติเมตร)	คลอลอยด์ (เปอร์เซ็นต์)	ซิลค์ (เปอร์เซ็นต์)	หินเหนียว (เปอร์เซ็นต์)	อัตราส่วนการแตกกระจาย (เปอร์เซ็นต์)	เฉลี่ยอัตราส่วนการแตกกระจาย (เปอร์เซ็นต์)
S11	0-20	7.99	25.06	30.41	14.40	
S12	20-38	16.38	18.55	30.41	33.46	
S13	38-64	19.94	20.27	33.92	36.80	
S14	64-120	20.40	20.10	32.36	38.89	43.31
S15	120-180	29.10	18.77	25.34	65.97	
S16	180-320	29.16	17.96	24.16	69.23	
S17	320-400	9.18	9.35	11.31	44.43	
<hr/>						
S21	0-15	11.98	26.68	19.50	25.94	
S22	15-28	12.77	18.21	32.37	25.30	
S23	28-55	16.40	16.30	40.93	28.66	
S24	55-140	18.38	18.08	37.42	33.12	40.11
S25	140-280	22.76	18.46	26.12	51.05	
S26	280-550	11.18	8.07	12.87	53.39	
S27	550-600	9.60	5.41	9.75	63.32	
<hr/>						
S31	0-10	16.39	33.57	23.39	28.77	
S32	10-28	14.78	30.80	29.62	24.46	
S33	28-65	17.16	24.40	35.08	28.85	
S34	65-110	17.18	17.36	42.05	28.70	38.91
S35	110-160	23.98	17.36	43.28	39.54	
S36	160-210	25.57	17.90	42.48	42.35	
S37	210-240	35.59	25.94	18.72	79.69	
<hr/>						
S41	0-10	17.99	23.08	33.93	31.56	
S42	10-30	16.39	14.43	47.17	26.61	
S43	30-55	17.16	10.66	55.76	27.08	
S44	55-80	17.18	7.28	59.66	31.66	32.11
S45	80-120	23.98	8.74	58.09	26.92	
S46	120-180	25.57	14.75	48.34	29.77	
S47	180-200	35.59	11.48	28.36	51.20	
<hr/>						
S51	0-15	13.19	15.48	24.96	32.62	
S52	15-30	19.19	13.02	35.87	39.25	
S53	30-70	21.19	16.16	31.58	44.39	
S54	70-100	26.00	19.69	28.85	53.56	51.04
S55	100-180	23.57	14.84	17.16	73.66	
S56	180-240	18.00	15.27	12.87	63.97	
S57	240-350	10.40	8.79	12.09	49.81	
<hr/>						
S61	0-10	12.80	26.26	42.50	12.62	
S62	10-30	7.60	12.75	65.11	9.76	
S63	30-70	4.40	27.92	58.88	5.07	
S64	70-170	2.80	18.92	66.28	3.29	7.01
S65	170-265	2.80	25.71	58.10	3.34	
S66	265-375	2.00	27.97	46.40	2.69	
S67	375-500	1.60	42.05	32.76	2.14	

หมายเหตุ สำหรับอัตราส่วนการแตกกระจาย ค่าต่ำกว่า 10% หมายถึง เมื่อคิดเกิดการแตกกระจายได้ยาก
 สำหรับอัตราส่วนการแตกกระจาย 10-20% หมายถึง เมื่อคิดเกิดการแตกกระจายได้เล็กน้อย
 สำหรับอัตราส่วนการแตกกระจาย 20-30% หมายถึง เมื่อคิดเกิดการแตกกระจายได้ปานกลาง
 สำหรับอัตราส่วนการแตกกระจาย 30-40% หมายถึง เมื่อคิดเกิดการแตกกระจายได้ง่าย
 สำหรับอัตราส่วนการแตกกระจาย มากกว่า 40% หมายถึง เมื่อคิดเกิดการแตกกระจายได้ง่ายมาก

ตารางที่ 17 เปอร์เซนต์อัตราส่วนการแตกกระจายของเม็ดดิน (dispersion ratio) ของบริเวณที่ทำการศึกษา

บริเวณที่ 5 มีค่าอัตราส่วนการแตกกระจายของเม็ดดินมากกว่า 40 เปอร์เซ็นต์ ซึ่งแสดงว่าเม็ดดินเกิดการแตกกระจายได้ง่ายมาก บริเวณที่ 3 และบริเวณที่ 4 มีค่าอัตราส่วนการแตกกระจายของเม็ดดินระหว่าง 30-40 เปอร์เซ็นต์ซึ่งแสดงว่าเม็ดดินเกิดการแตกกระจายได้ง่าย ส่วนบริเวณที่ 6 มีค่าอัตราส่วนการแตกกระจายของเม็ดดินต่ำกว่า 10 เปอร์เซ็นต์ซึ่งแสดงว่าเม็ดดินเกิดการแตกกระจายได้ยาก ซึ่งเมื่อสังเกตจากค่าอัตราส่วนการแตกกระจายของเม็ดดินกับค่าเปอร์เซ็นต์ความลาดเหม็นแนวโน้มที่จะผันแปรตามกัน

เมื่อพิจารณาถึงศักยภาพและการใช้ประโยชน์ที่ดินในบริเวณที่ทำการศึกษาดูโดยใช้ค่าอัตราส่วนการแตกกระจายของเม็ดดินเป็นเกณฑ์คาดว่าบริเวณที่ 1 บริเวณที่ 2 บริเวณที่ 3 บริเวณที่ 4 บริเวณที่ 5 ควรอนุรักษ์ไว้เป็นป่าต้นน้ำลำธาร ในขณะที่บริเวณที่ 6 สามารถจะทำการเกษตรได้แต่ควรจะมีมาตรการในการอนุรักษ์ดินและน้ำควบคู่ไปด้วย เช่น การทำขั้นบันได (terracing) เป็นต้น

3.4 การประยุกต์ข้อมูลของที่ดินในการจัดชั้นคุณภาพลุ่มน้ำ

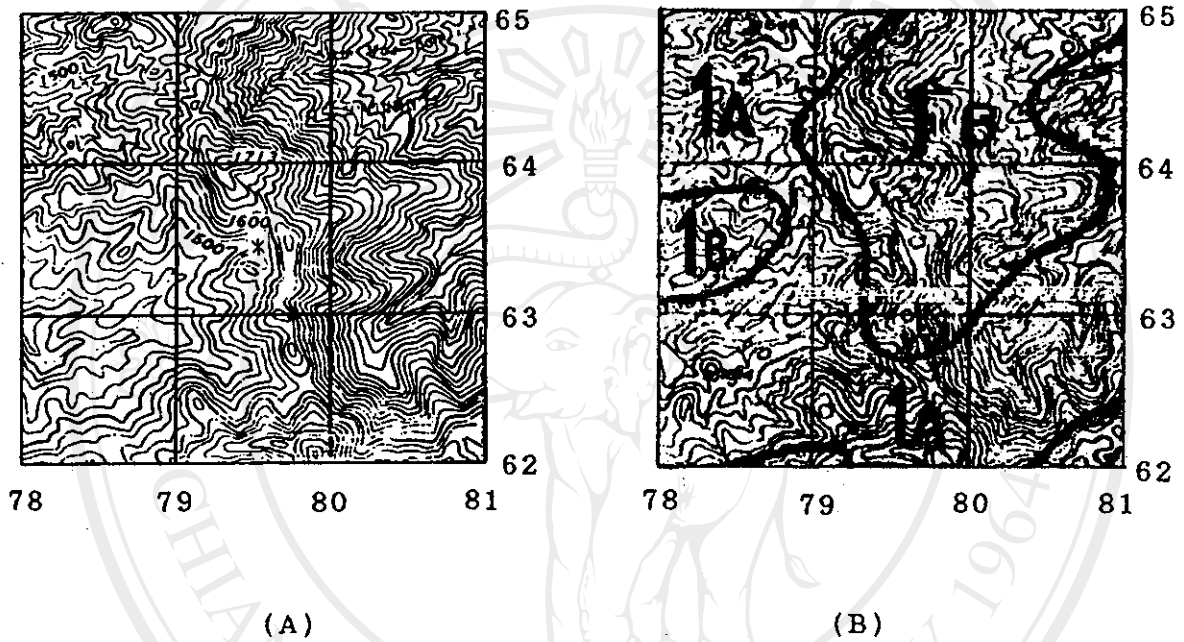
การศึกษาการจัดชั้นคุณภาพลุ่มน้ำซึ่งใช้ในเขตรุ่มน้ำบึง วัง ยม และน่าน โดยมีสมการที่ใช้ปัจจัยทั้ง 6 ประการ ซึ่งได้ทดสอบและยอมรับโดยหน่วยงานของรัฐบาลแล้ว ดังนั้นเพื่อที่จะเป็นการทดสอบสมการเฉพาะในบริเวณที่ทำการเก็บตัวอย่างดินทั้ง 6 บริเวณ โดยในบริเวณที่ 1 และบริเวณที่ 2 อยู่ในเขตรุ่มน้ำแม่แดง ส่วนบริเวณที่ 6 อยู่ในเขตรุ่มน้ำแม่แจ่ม ซึ่งทั้ง 3 บริเวณไหลลงสู่แม่น้ำบึง สำหรับบริเวณที่ 3 และบริเวณที่ 4 อยู่ในเขตรุ่มน้ำแม่คำ ซึ่งทั้ง 2 บริเวณไหลลงสู่แม่น้ำโขง ส่วนบริเวณที่ 5 อยู่ในเขตรุ่มน้ำแม่ขวมซึ่งไหลลงสู่แม่น้ำสาละวิน เนื่องจากในบริเวณที่ 1 บริเวณที่ 2 และบริเวณที่ 6 อยู่ในเขตรุ่มน้ำบึงจึงสามารถแทนค่าลงในสมการการจัดชั้นคุณภาพลุ่มน้ำสำหรับเขตรุ่มน้ำบึง วัง ยมและน่านได้เลย ในขณะที่บริเวณที่ 3 และบริเวณที่ 4 ซึ่งอยู่ในเขตรุ่มน้ำโขง และบริเวณที่ 5 ซึ่งอยู่ในเขตรุ่มน้ำสาละวิน ยังไม่มีการทดสอบสมการที่ใช้ในการจัดชั้นคุณภาพลุ่มน้ำ ในที่นี้จึงขออนุโลมใช้สมการของการจัดชั้นคุณภาพลุ่มน้ำสำหรับเขตรุ่มน้ำบึง วัง ยมและน่านแทน

จากการนำตัวแปรของปัจจัยต่างๆ มากำหนดค่าตัวแปรเชิงปริมาณ (ภาคผนวกที่ III-3-1) แล้วแทนค่าลงในสมการซึ่งผลจะได้รับค่าชั้นคุณภาพลุ่มน้ำของบริเวณที่ทำการศึกษาทั้ง 6 บริเวณ (ตารางที่ 18-ตารางที่ 23) ในบริเวณที่ 1 บริเวณที่ 3 และบริเวณที่ 5 มีค่าชั้นคุณภาพลุ่มน้ำที่ 0.91, 0.87 และ 0.49 ตามลำดับ ซึ่งจัดเป็นชั้นคุณภาพลุ่มน้ำที่ 1 แต่เนื่องจากไม่มีป่าไม้ปกคลุมจึงจัดเป็นชั้นคุณภาพลุ่มน้ำที่ 1B บริเวณที่ 2 และบริเวณที่ 4 มีค่าชั้นคุณภาพลุ่มน้ำ 0.77 และ

0.76 ซึ่งจัดเป็นชั้นคุณภาพลุ่มน้ำที่ 1 แต่เนื่องจากมีป่าไม้ปกคลุมจึงจัดเป็นชั้นคุณภาพลุ่มน้ำที่ 1A ส่วนบริเวณที่ 6 มีค่าชั้นคุณภาพลุ่มน้ำ 2.82 จึงจัดเป็นชั้นคุณภาพลุ่มน้ำที่ 3

เมื่อนำผลการจัดชั้นคุณภาพลุ่มน้ำของบริเวณที่ 1 บริเวณที่ 2 และบริเวณที่ 6 ซึ่งได้จากการศึกษาโดยใช้แผนที่ภูมิประเทศ (รูปที่ 5(A), 6(A) และ 10(A)) และผลจากการศึกษาจากหัวข้อ 3.1, 3.2 และ 3.3 นั้นพบว่ามีชั้นคุณภาพลุ่มน้ำตรงกันกับชั้นคุณภาพลุ่มน้ำที่จัดทำโดยสำนักงานคณะกรรมการสิ่งแวดล้อมแห่งชาติซึ่งแสดงในแผนที่การจัดชั้นคุณภาพลุ่มน้ำ (รูปที่ 5(B), 6(B) และ 10(B)) ส่วนบริเวณที่ 3 บริเวณที่ 4 และบริเวณที่ 5 เมื่อจัดชั้นคุณภาพลุ่มน้ำโดยใช้แผนที่ภูมิประเทศ (รูปที่ 7(A), 8(A) และ 9(A)) พบว่าไม่สามารถจะเปรียบเทียบข้อมูลว่าถูกต้องมากน้อยเท่าใด เนื่องจากยังไม่มีการจัดชั้นคุณภาพในบริเวณดังกล่าวเลย (รูปที่ 7(B), 8(B) และ 9(B))

จะนั้นมาตรการในการใช้ที่ดิน (ภาคผนวกที่ III-3-2) ในบริเวณที่ 2 และบริเวณที่ 4 ซึ่งเป็นชั้นคุณภาพลุ่มน้ำที่ 1A ซึ่งยังคงมีสภาพป่าสมบูรณ์ปรากฏอยู่ จึงจำเป็นต้องสงวนรักษาไว้เป็นพื้นที่ต้นน้ำลำธารและเป็นทรัพยากรป่าไม้ของประเทศสำหรับบริเวณที่ 1 บริเวณที่ 3 และบริเวณที่ 5 ซึ่งเป็นชั้นคุณภาพลุ่มน้ำ 1B ซึ่งสภาพป่าส่วนใหญ่ในพื้นที่ได้ถูกทำลาย ตัดแปลงหรือเปลี่ยนแปลงไปเพื่อพัฒนาการใช้ที่ดินรูปแบบอื่นแล้ว ฉะนั้นการใช้ที่ดินหรือการพัฒนาในรูปแบบต่างๆ ที่ดำเนินการไปแล้วจะต้องมีมาตรการควบคุมพิเศษ เช่น บริเวณที่มีราษฎรอาศัยอยู่ดั้งเดิมอย่างถาวรแล้ว ให้หน่วยงานที่เกี่ยวข้องดำเนินการจัดที่ทำกินให้เป็นการถาวรเพื่อมิให้มีการโยกย้ายและขยายขอบเขตการทำลายป่าออกไปอีก เป็นต้น ส่วนบริเวณที่ 6 ซึ่งเป็นชั้นคุณภาพลุ่มน้ำที่ 3 สามารถใช้พื้นที่ทำกิจการป่าไม้ เหมืองแร่ กสิกรรม และกิจการอื่นๆ ได้ แต่ต้องมีการควบคุมวิธีการปฏิบัติอย่างเข้มงวดให้เป็นไปตามหลักการอนุรักษ์ดินและน้ำ

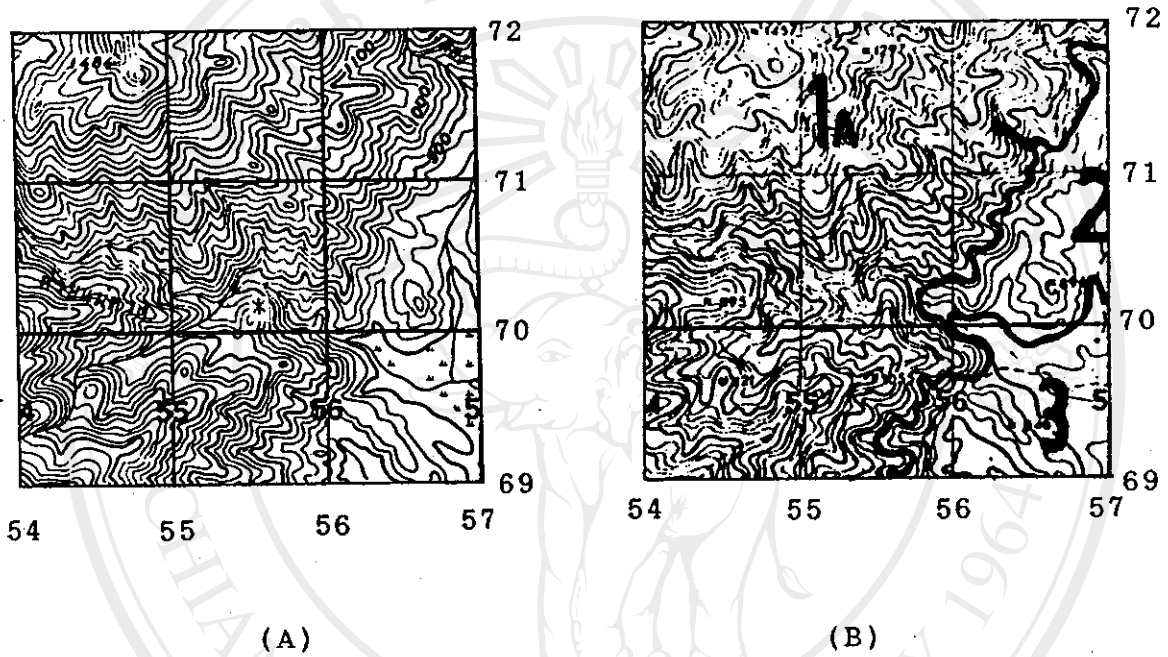


รูปที่ 5 ลักษณะภูมิประเทศ (A) และชั้นคุณภาพลุ่มน้ำ (B) บริเวณบ้านแกน้อย. ในเขตลุ่มน้ำแม่แตง (* จุดเก็บตัวอย่างดิน)

บล็อคดี	ความลาดชัน	ความสูง	รูปลักษณ์	ค่าทาง	ค่าทาง	ค่าชั้น	ชั้น
ทำการสำรวจ	(เปอร์เซ็นต์)	(เมตร)	พื้นที่	ธรณีวิทยา	บรรพวิทยา	คุณภาพลุ่มน้ำ	คุณภาพลุ่มน้ำ
1	26	1620	4.01/	1.111/	1.653/	0.91	1B

- หมายเหตุ : 1/ สันเขาลาดเขปานกลาง
 2/ พินกรรมดินยุคโทรแอสซิก
 3/ Oxic Humitropepts เป็ข้มเพ็ข Clayey Tropaquepts

ตารางที่ 18 คะแนนที่บอกลักษณะของบล็อคดีทำการสำรวจในพื้นที่ภูมิประเทศบล็อคดี 1

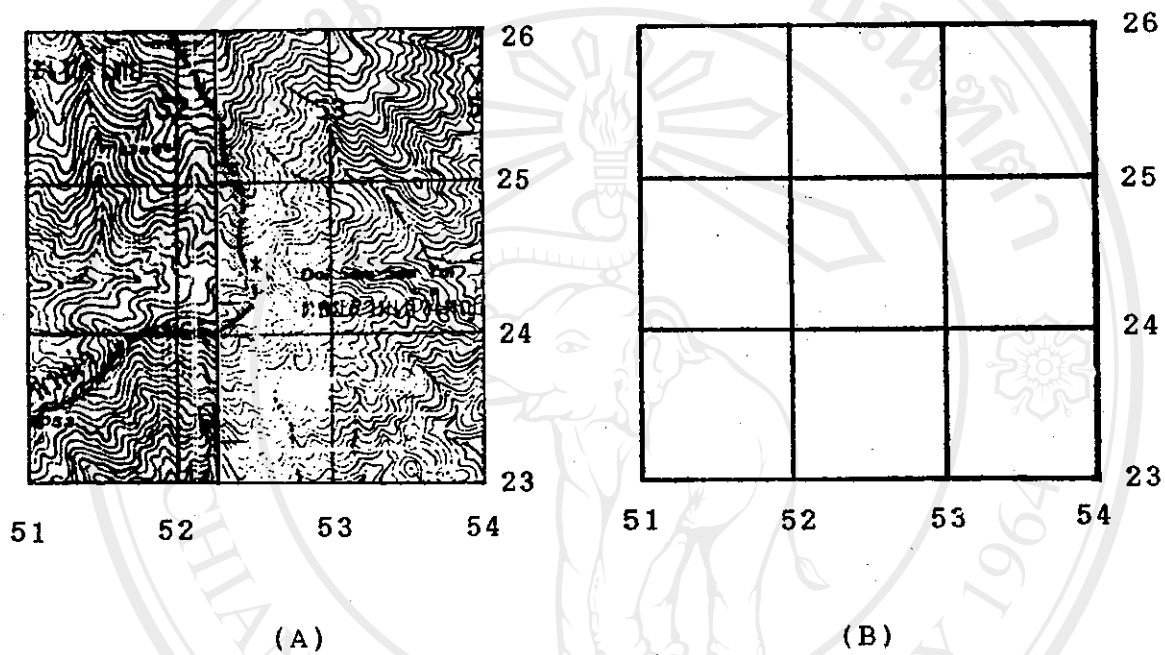


รูปที่ 6 ลักษณะภูมิประเทศ (A) และชั้นคุณภาพลุ่มน้ำ (B) บริเวณบ้านแม่หาด ในเขตลุ่มน้ำแม่แตง (* จุดเก็บตัวอย่างดิน)

บล็อคดีทำการสำรวจ	ความลาดชัน (เปอร์เซ็นต์)	ความสูง (เมตร)	รูปลักษณะพื้นที่	ค่าทางธรณีวิทยา	ค่าทางปฐพีวิทยา	ค่าชั้นคุณภาพลุ่มน้ำ	ชั้นคุณภาพลุ่มน้ำ
2	34	1000	5.0 ^{1/}	1.11 ^{2/}	1.08 ^{3/}	0.77	IA

- หมายเหตุ : 1/ โหล่เขาชันปานกลาง
 2/ พื้นแกรนิตในชุดคาร์บอนิฟอรัส
 3/ Tropohumults

ตารางที่ 19 คะแนนที่บอกลักษณะของบล็อคดีทำการสำรวจในแผนที่ภูมิประเทศบล็อคดี 2

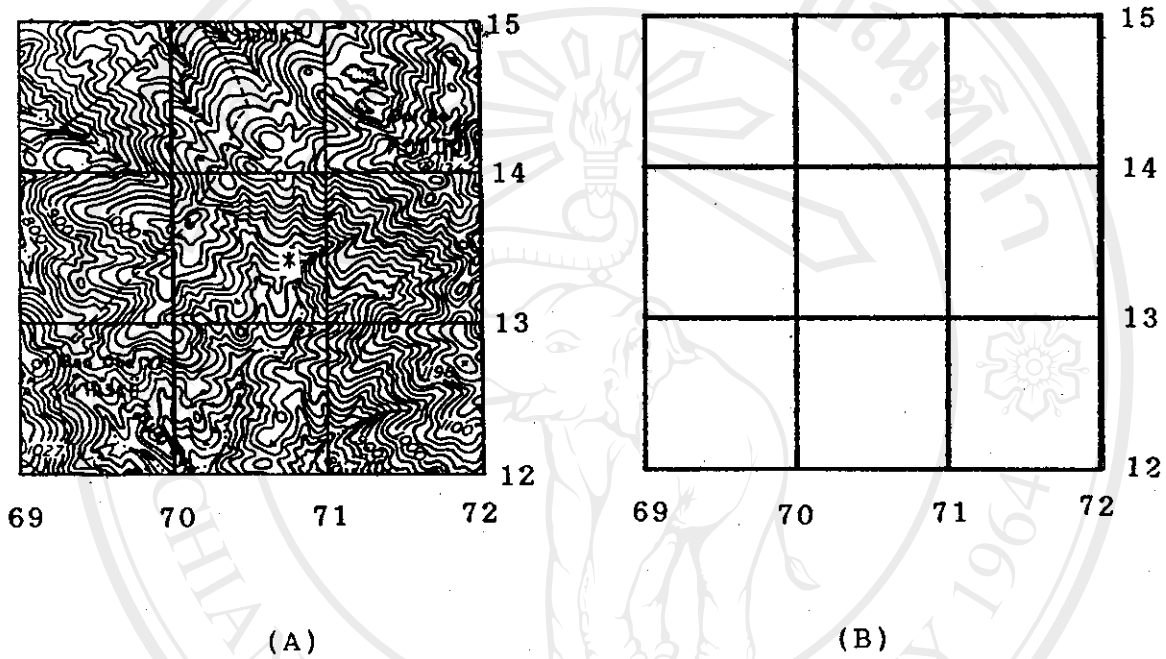


รูปที่ 7 ลักษณะภูมิประเทศ (A) บริเวณบ้านเทอดไทยในเขตลุ่มน้ำแม่คำ ส่วนการจัดชั้นคุณภาพลุ่มน้ำยังไม่ได้จัดทำ (B) (* จุดเก็บตัวอย่างดิน)

บล็อกที่ทำการสำรวจ	ความลาดชัน (เปอร์เซ็นต์)	ความสูง (เมตร)	รูปลักษณะพื้นที่	ค่าทางธรณีวิทยา	ค่าทางประณีตวิทยา	ค่าชั้นคุณภาพลุ่มน้ำ	ชั้นคุณภาพลุ่มน้ำ
3	30	1220	5.0 ^{1/}	1.11 ^{2/}	1.08 ^{3/}	0.87	1B

หมายเหตุ : 1/ โหล่เขาชันปานกลาง
2/ หินแกรนิตในยุคโทรแอลซีก
3/ Tropohumults

ตารางที่ 20 คะแนนที่บอกลักษณะของบล็อกที่ทำการสำรวจในแผนที่ภูมิประเทศบล็อกที่ 3

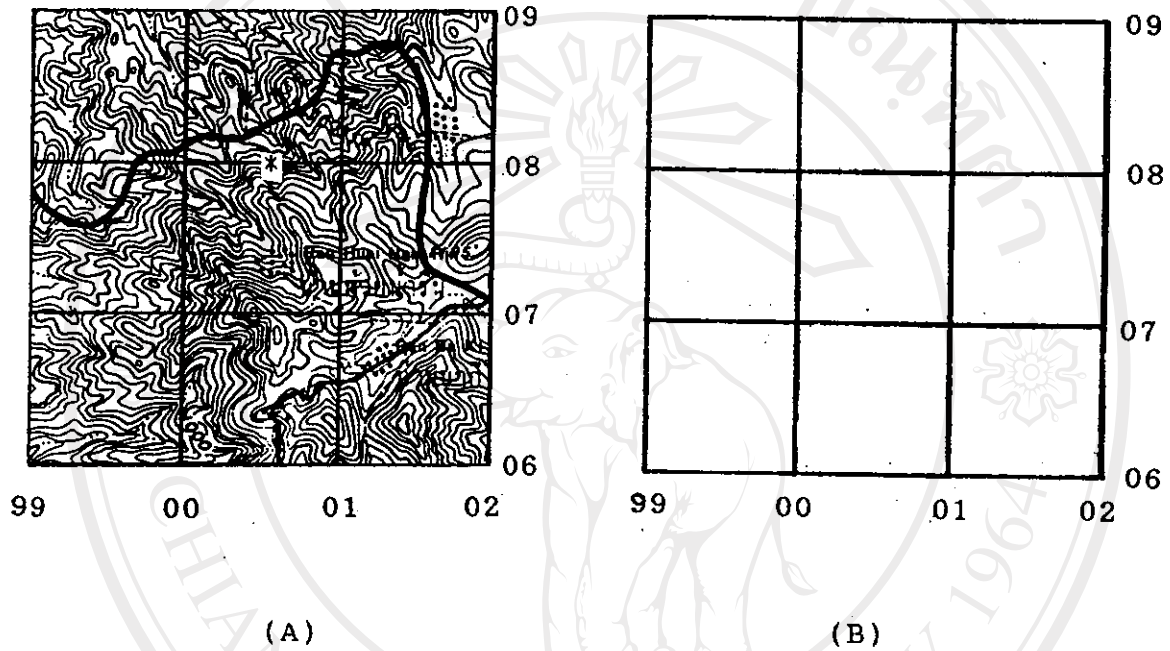


รูปที่ 8 ลักษณะภูมิประเทศ (A) บริเวณบ้านจะยี่ในเขตลุ่มน้ำแม่คำ ส่วนการจัดชั้นคุณภาพลุ่มน้ำยังไม่ได้จัดทำ (B) (* จุดเก็บตัวอย่างดิน)

บิลด์ที่	ความลาดชัน	ความสูง	รูปลักษณ์	ค่าทาง	ค่าทาง	ค่าชั้น	ชั้น
ทำการสำรวจ	(เปอร์เซ็นต์)	(เมตร)	พื้นที่	ธรณีวิทยา	ประณีตวิทยา	คุณภาพลุ่มน้ำ	คุณภาพลุ่มน้ำ
4	34	1030	5.01%	1.11%	1.08%	0.76	1A

หมายเหตุ : 1/ โหล่เขาริมปานกลาง
2/ พื้นแกรนิตในชุดคาร์บอนีเฟอรัส
3/ Tropohumults

ตารางที่ 21 คะแนนที่บอกลักษณะของบิลด์ที่ทำการสำรวจในแผนที่ภูมิประเทศบิลด์ที่ 4

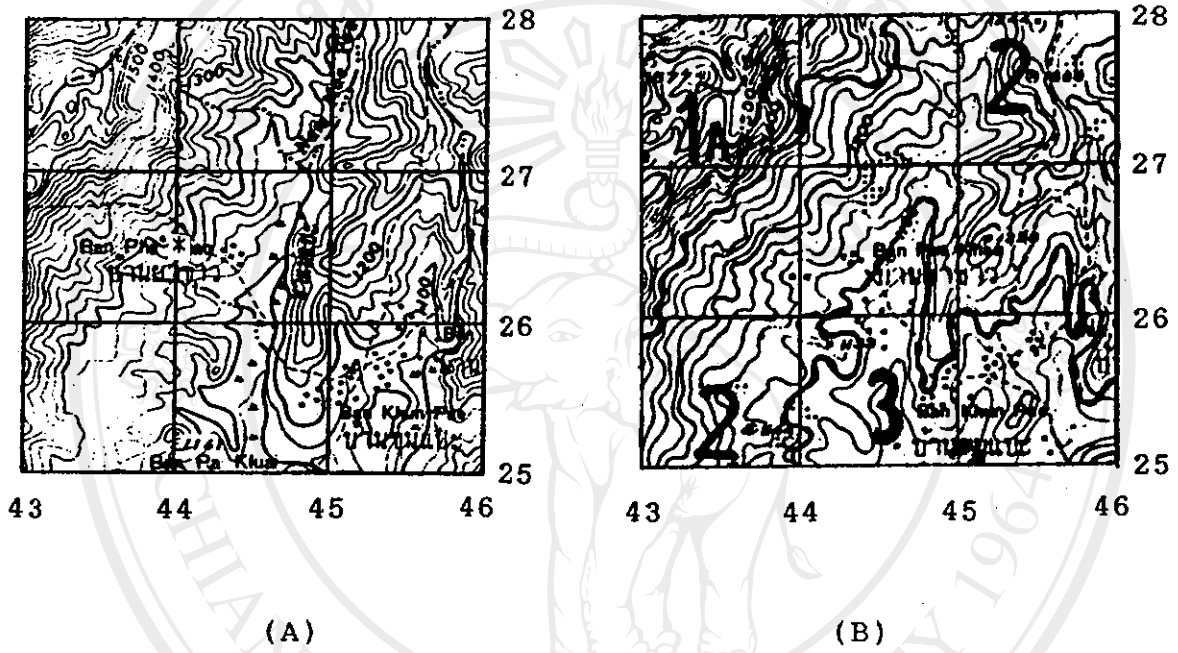


รูปที่ 9 ลักษณะภูมิประเทศ (A) บริเวณบ้านห้วยน้ำรินในเขตลุ่มน้ำแม่ยวม ส่วนการจัดชั้นคุณภาพลุ่มน้ำยังไม่ได้จัดทำ (B) (* จุดเก็บตัวอย่างดิน)

บิล็อคที่	ความลาดชัน (เปอร์เซ็นต์)	ความสูง (เมตร)	รูปลักษณะพื้นที่	ค่าทางธรณีวิทยา	ค่าทางปฐพีวิทยา	ค่าชั้นคุณภาพลุ่มน้ำ	ชั้นคุณภาพลุ่มน้ำ
5	40	1080	3.01 ^{1/}	1.11 ^{2/}	2.42 ^{3/}	0.49	1B

- หมายเหตุ : 1/ ไหล่เขาร่องลึก
 2/ หินแกรนิตในยุคไพโรสซิก
 3/ Ultic Haplustalfs เปรียบเทียบกับ Ustic Haplustalfs

ตารางที่ 22 คะแนนที่บอกลักษณะของบิล็อคที่ทำการสำรวจในพื้นที่ภูมิประเทศบิล็อคที่ 5



รูปที่ 10 ลักษณะภูมิประเทศ (A) และชั้นคุณภาพลุ่มน้ำ (B) บริเวณบ้านขุนแปะ ในเขตลุ่มน้ำแม่แจ่ม (* จุดเก็บตัวอย่างดิน)

บิล็อคที่ทำการสำรวจ	ความลาดชัน (เปอร์เซ็นต์)	ความสูง (เมตร)	รูปลักษณะพื้นที่	ค่าทางธรณีวิทยา	ค่าทางปฐพีวิทยา	ค่าชั้นคุณภาพลุ่มน้ำ	ชั้นคุณภาพลุ่มน้ำ
6	12	1180	15.01/	1.112/	1.083/	2.82	3

- หมายเหตุ : 1/ ที่ราบขลาดเขาเป็นลอนคลื่น
 2/ พื้นกรนิตในชุดคาร์บอนีเฟอรัส
 3/ Tropohumults

ตารางที่ 23 คะแนนที่บอกลักษณะของบิล็อคที่ทำการสำรวจในแผนที่ภูมิประเทศบิล็อคที่ 6